

TUM

Kapitel 7

Physische Datenorganisation

- Speicherhierarchie
- Hintergrundspeicher / RAID
- Speicherstrukturen
- B-Bäume
- Hashing
- R-Bäume

1

TUM

Überblick: Speicherhierarchie

2

TUM

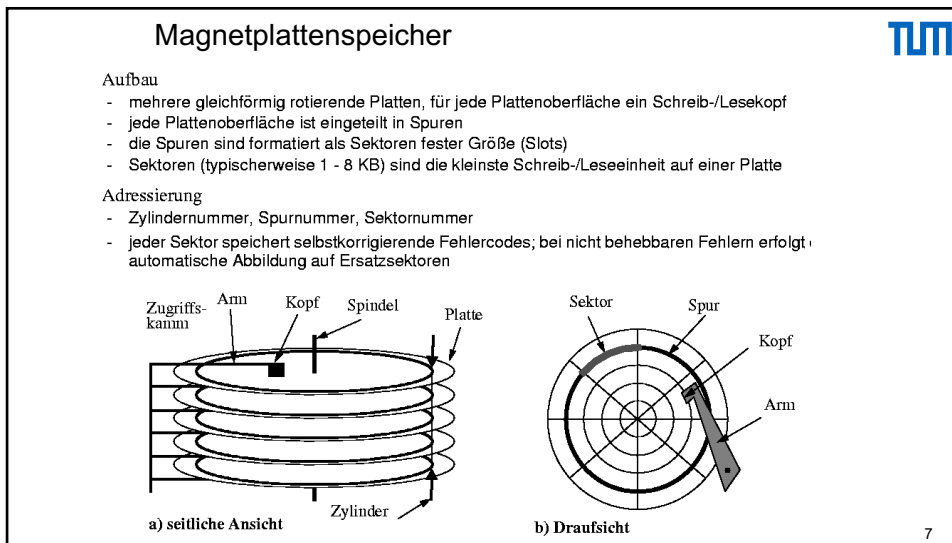
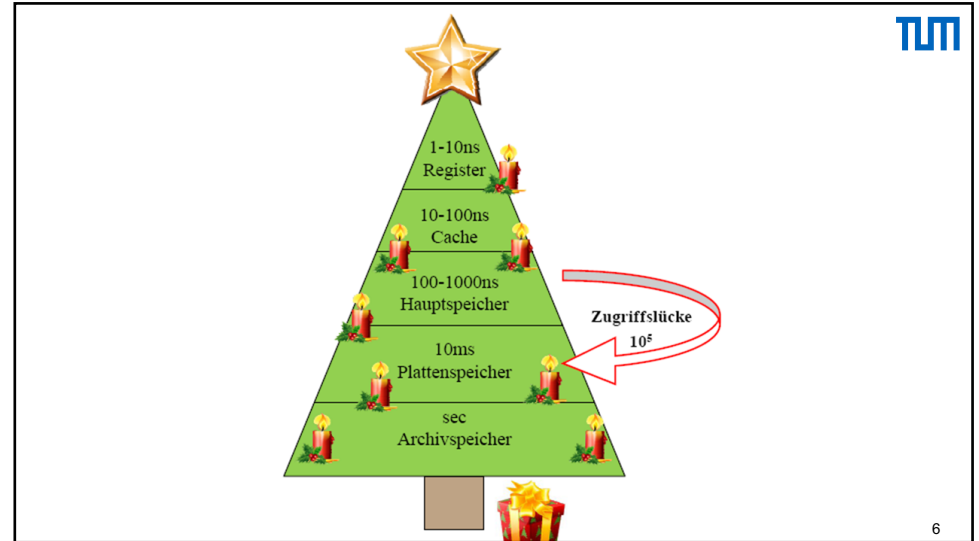
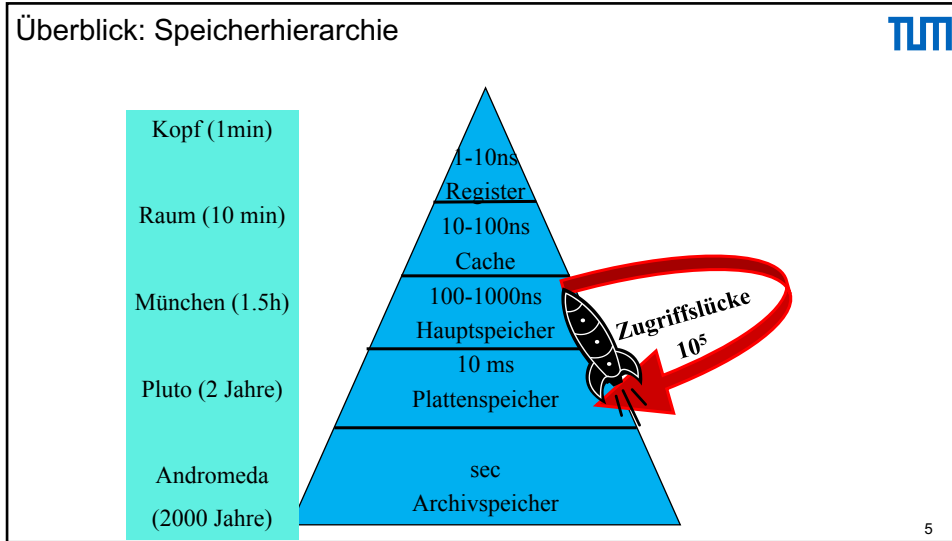
Überblick: Speicherhierarchie

3

TUM

Überblick: Speicherhierarchie

4



Lesen von Daten von der Platte

Seek Time: Arm positionieren

- 5ms

Latenzzeit: ½ Plattenumdrehung (im Durchschnitt)

- 10000 Umdrehungen / Minute
- → Ca 3ms

Transfer von der Platte zum Hauptspeicher

- 100 Mb /s → 15 MB/s

8

Random versus Chained IO



1000 Blöcke à 4KB sind zu lesen

Random I/O

- Jedesmal Arm positionieren
- Jedesmal Latenzzeit
- → $1000 * (5 \text{ ms} + 3 \text{ ms}) + \text{Transferzeit von 4 MB}$
- → $> 8000 \text{ ms} + 300 \text{ ms} \rightarrow 8 \text{ s}$

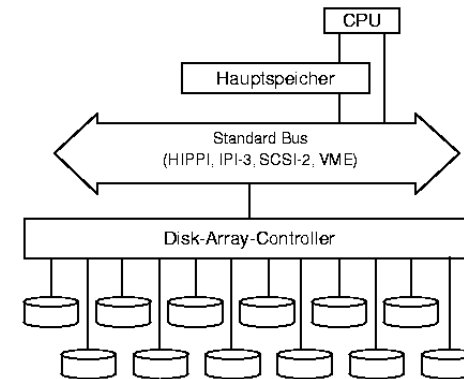
Chained IO

- Einmal positionieren, dann „von der Platte kratzen“
- → $5 \text{ ms} + 3 \text{ ms} + \text{Transferzeit von 4 MB}$
- → $8 \text{ ms} + 300 \text{ ms} \rightarrow 1/3 \text{ s}$

Also ist chained IO **ein bis zwei Größenordnungen schneller** als random IO in Datenbank-Algorithmen unbedingt beachten !

9

Disk Arrays → RAID-Systeme



10

Fehlertoleranz



„The Problem with Many Small Disks: Many Small Faults“

Disk-Array mit N Platten: ohne Fehlertoleranzmechanismen N-fach erhöhte Ausfallwahrscheinlichkeit
⇒ System ist unbrauchbar

Begriffe

- Mean Time To Failure (MTTF): Erwartungswert für die Zeit (von der Inbetriebnahme) bis zum Ausfall einer Platte
- Mean Time To Repair (MTTR): Erwartungswert für die Zeit zur Ersetzung der Platte und der Rekonstruktion der Daten
- Mean Time To Data Loss (MTTDL): Erwartungswert für die Zeit bis zu einem nicht-maskierbaren Fehler

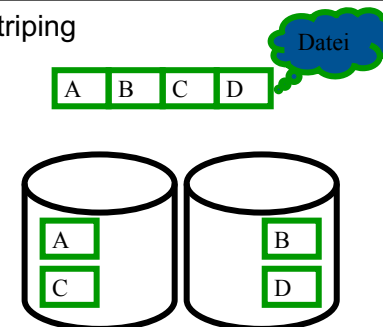
Disk-Array mit N Platten ohne Fehlertoleranzmechanismen: $MTTDL = MTTF/N$

Der Schlüssel zur Fehlertoleranz ist Redundanz => Redundant Arrays of Independent Disks (RAID)

- Durch Replikation der Daten (z.B. Spiegelplatten) – RAID1
- Durch zusätzlich zu den Daten gespeicherte Error-Correcting-Codes (ECCS), z.B. Paritätsbits (RAID-4, RAID-5)

11

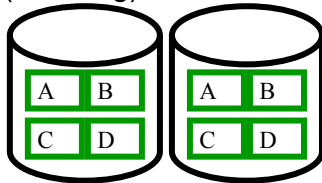
RAID 0: Striping



Lastbalancierung wenn alle Blöcke mit gleicher Häufigkeit gelesen/geschrieben werden
Doppelte Bandbreite beim sequentiellen Lesen der Datei bestehend aus den Blöcken ABCD...
Aber: Datenverlust wird immer wahrscheinlicher, je mehr Platten man verwendet (Stripingbreite = Anzahl der Platten, hier 2)

12

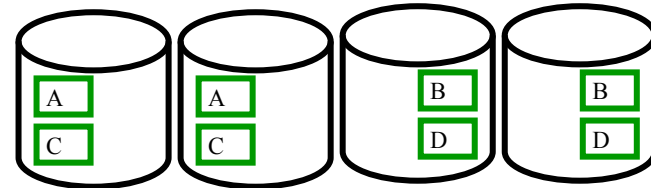
RAID 1: Spiegelung (mirroring)



- Datensicherheit: durch Redundanz aller Daten (Engl. mirror)
 Doppelter Speicherbedarf
 Lastbalancierung beim Lesen: z.B. kann Block A von der linken oder der rechten Platte gelesen werden
 Aber beim Schreiben müssen beide Kopien geschrieben werden
- Kann aber parallel geschehen
 - Dauert also nicht doppelt so lange wie das Schreiben nur eines Blocks

13

RAID 0+1: Striping und Spiegelung



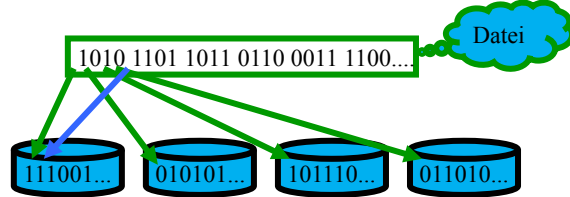
- Kombiniert RAID 0 und RAID 1
 Immer noch doppelter Speicherbedarf
 Zusätzlich zu RAID 1 erzielt man hierbei auch eine höhere Bandbreite beim Lesen der gesamten Datei ABCD...
 Wird manchmal auch als RAID 10 bezeichnet

14

RAID 2: Striping auf Bit-Ebene



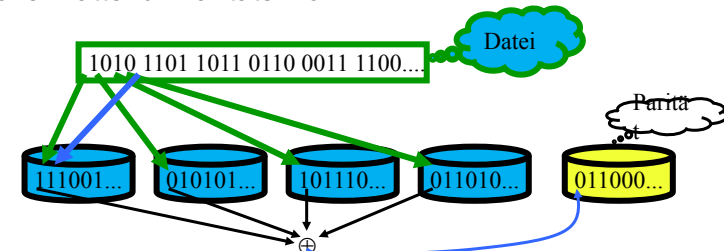
Anstatt ganzer Blöcke, wie bei RAID 0 und RAID 0+1, wird das Striping auf Bit- (oder Byte-) Ebene durchgeführt



Es werden zusätzlich auf einer Platte noch Fehlererkennungs- und Korrekturcodes gespeichert
 In der Praxis nicht eingesetzt, da Platten sowieso schon Fehlererkennungscode verwalten

15

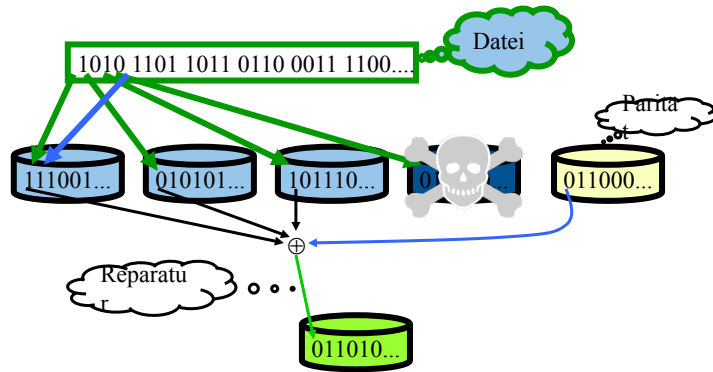
RAID 3: Striping auf Bit-Ebene, zusätzliche Platte für Paritätsinfo



- Das Striping wird auf Bit- (oder Byte-) Ebene durchgeführt
 Es wird auf einer Platte noch die Parität der anderen Platten gespeichert.
 Parität = bit-weise xor \oplus
 Dadurch ist der Ausfall einer Platte zu kompensieren
 Das Lesen eines Blocks erfordert den Zugriff auf alle Platten
- Verschwendung von Schreib/Leseköpfen
 - Alle marschieren synchron

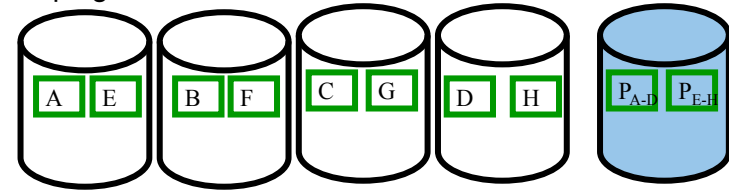
16

RAID 3: Plattenausfall



17

RAID 4: Striping von Blöcken



Bessere Lastbalancierung als bei RAID 3

Flaschenhals bildet die Paritätsplatte

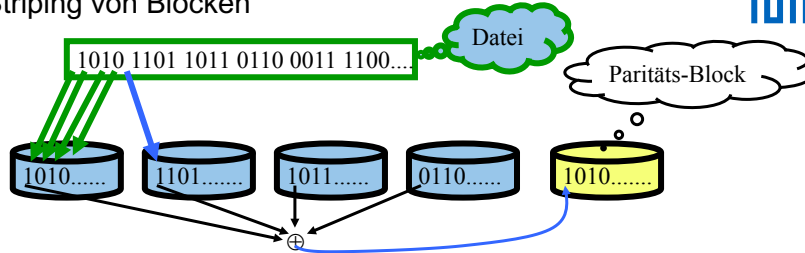
Bei jedem Schreiben muss darauf zugegriffen werden

- Bei Modifikation von Block A zu A' wird die Parität P_{A-D} wie folgt neu berechnet:
- $P'_{A-D} := P_{A-D} \oplus A \oplus A'$

D.h. bei einer Änderung von Block A muss der alte Zustand von A und der alte Paritätsblock gelesen werden und der neue Paritätsblock und der neue Block A' geschrieben werden

18

RAID 4: Striping von Blöcken



Flaschenhals bildet die Paritätsplatte

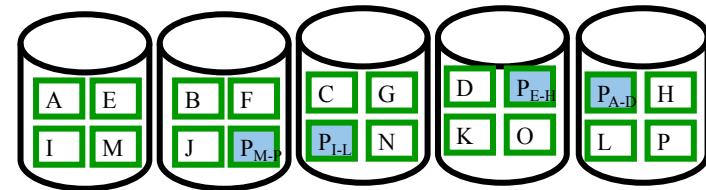
Bei jedem Schreiben muss darauf zugegriffen werden

- Bei Modifikation von Block A zu A' wird die Parität P_{A-D} wie folgt neu berechnet:
- $P'_{A-D} := P_{A-D} \oplus A \oplus A'$

D.h. bei einer Änderung von Block A muss der alte Zustand von A und der alte Paritätsblock gelesen werden und der neue Paritätsblock und der neue Block A' geschrieben werden

19

RAID 5: Striping von Blöcken, Verteilung der Paritätsblöcke



Bessere Lastbalancierung als bei RAID 4

die Paritätsplatte bildet jetzt keinen Flaschenhals mehr

Wird in der Praxis häufig eingesetzt

Guter Ausgleich zwischen Platzbedarf und Leistungsfähigkeit

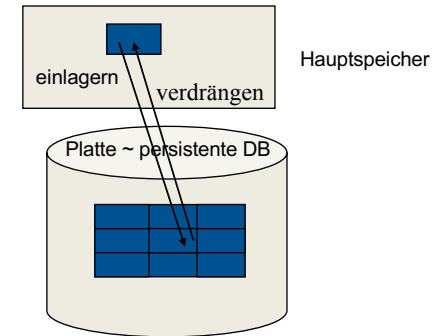
20

Bewertung der Parallelität bei RAID



- RAID 0
- ?
- RAID 1
- ?
- RAID 0+1
- ?
- RAID 3
- ?
- RAID 4
- ?
- RAID 5
- ?

Systempuffer-Verwaltung



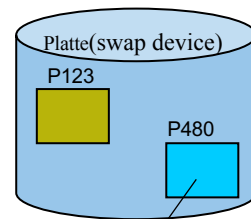
Ein- und Auslagern von Seiten



- Systempuffer ist in Seitenrahmen gleicher Größe aufgeteilt
- Ein Rahmen kann eine Seite aufnehmen
- „Überzählige“ Seiten werden auf die Platte ausgelagert

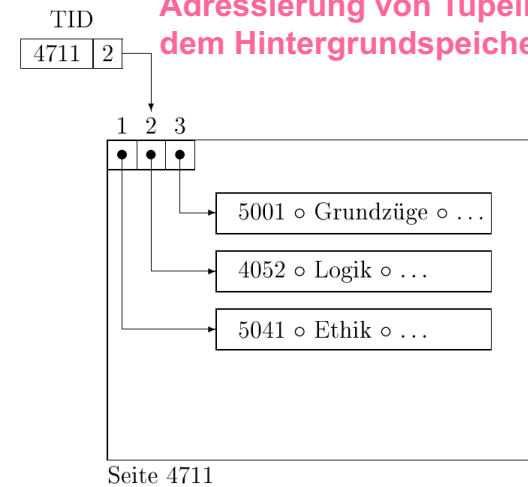
0	4K	8K	12K
16K	20K	24K	28K
32K	36K	40K	44K
48K	52K	56K	60K

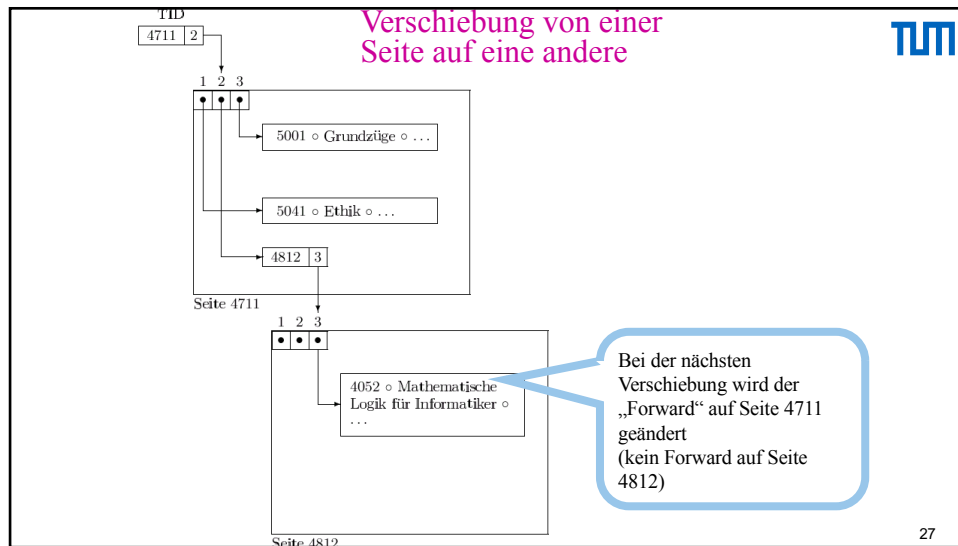
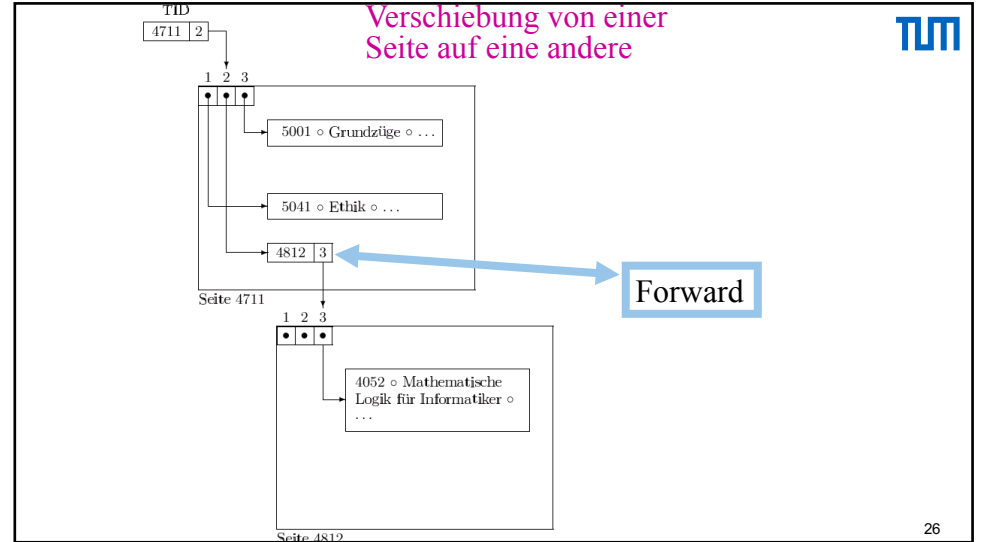
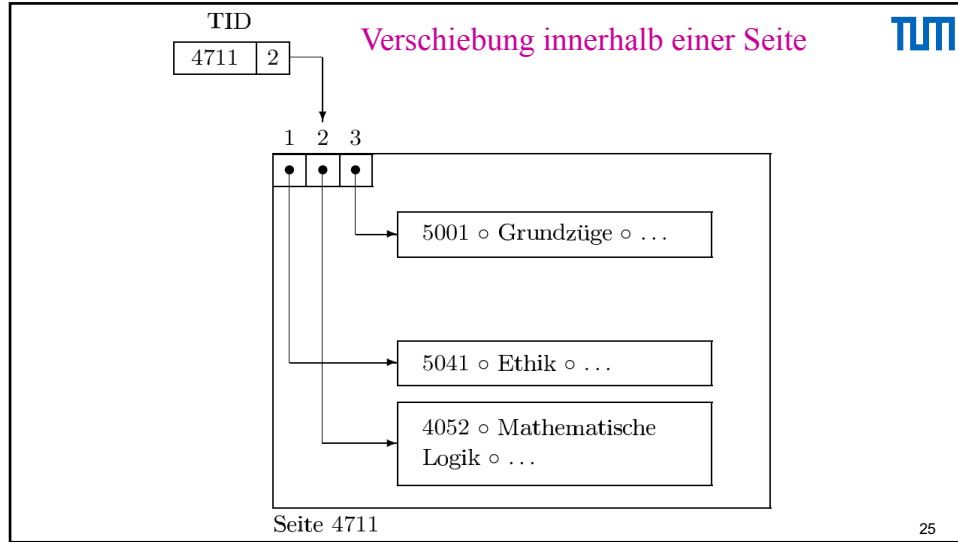
Seitenrahmen



Seite

Adressierung von Tupeln auf dem Hintergrundspeicher



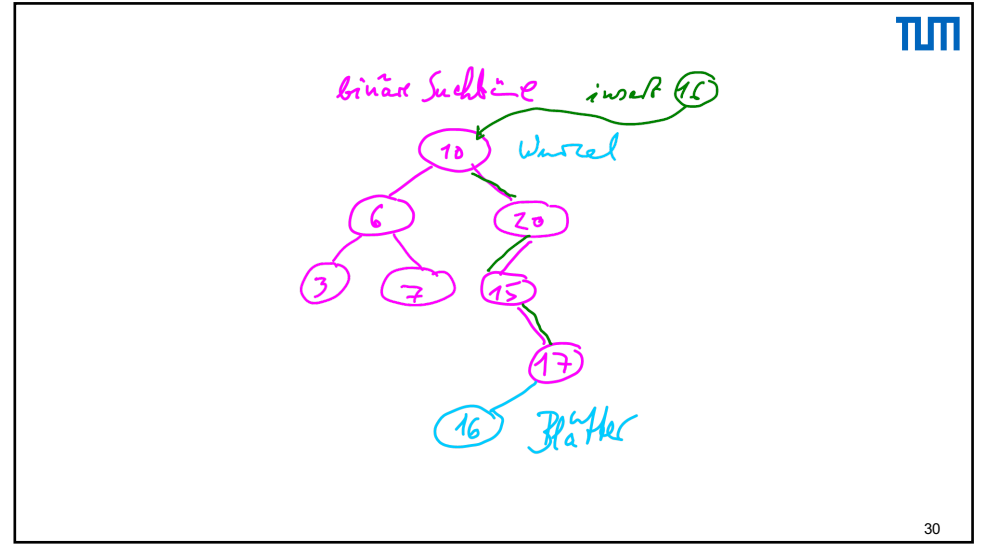
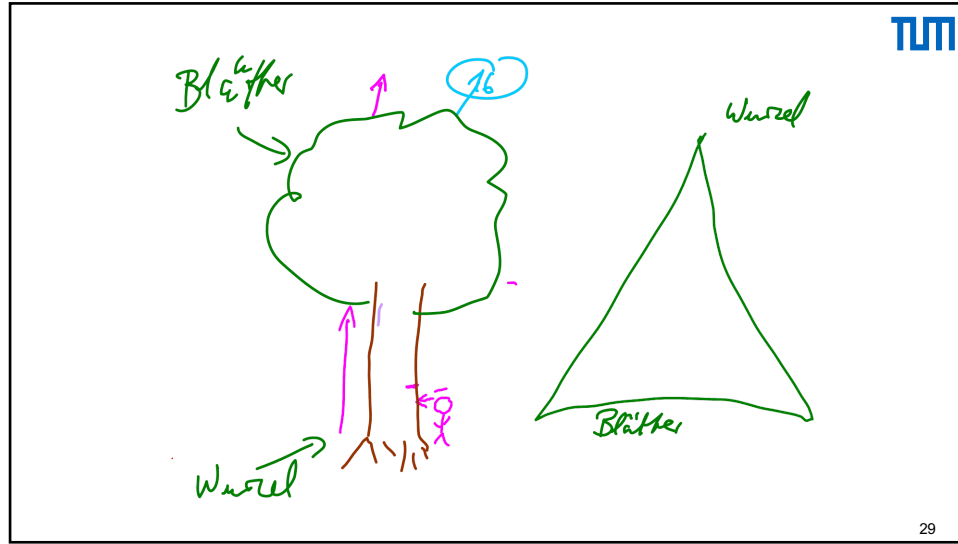


TUM

B-Bäume

Balancierte Mehrwege-Suchbäume
Für den Hintergrundspeicher
Erfunden von Rudolph Bayer (TUM Professor Emeritus)

28



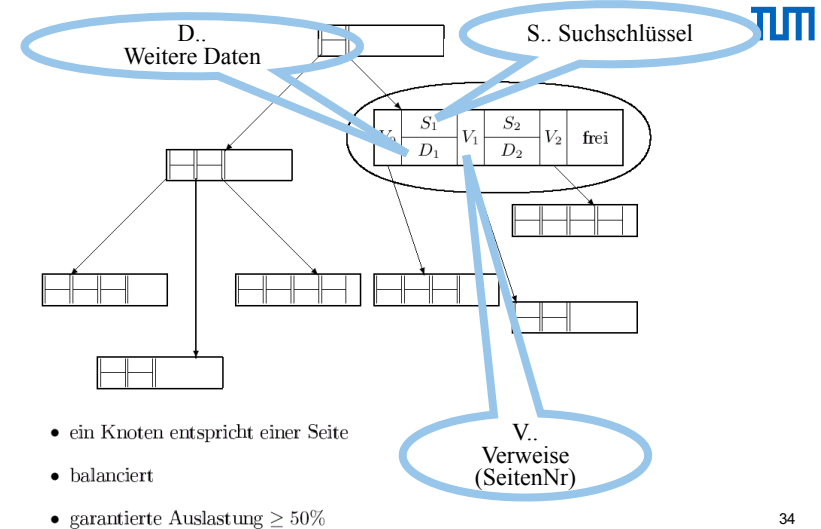
(Handschriftliche) Demo über Binäre Suchbäume

32

(Handschriftliche) Demo über Binäre Suchbäume



33



34

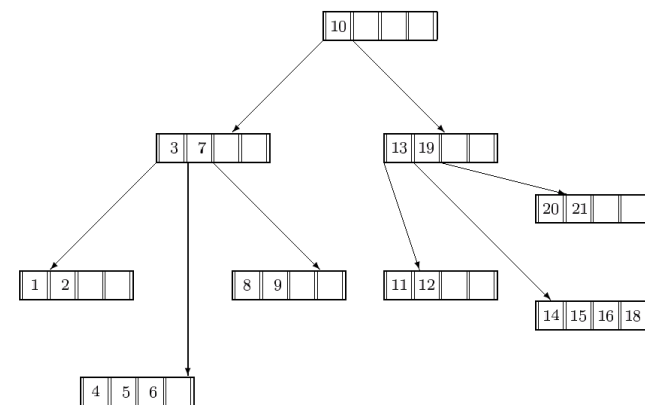
B-Baum von Grad k :



1. Jeder Weg von der Wurzel zu einem Blatt hat die gleiche Länge.
2. Jeder Knoten außer der Wurzel hat mindestens k und höchstens $2k$ Einträge. Die Wurzel hat höchstens $2k$ Einträge. Die Einträge werden in allen Knoten sortiert gehalten.
3. Alle Knoten mit n Einträgen, außer den Blättern, haben $n + 1$ Kinder.
4. Seien S_1, \dots, S_n die Schlüssel eines Knotens mit $n + 1$ Kindern. V_0, V_1, \dots, V_n seien die Verweise auf diese Kinder. Dann gilt:
 - (a) V_0 weist auf den Teilbaum mit Schlüsseln kleiner als S_1 .
 - (b) V_i ($i = 1, \dots, n - 1$) weist auf den Teilbaum, dessen Schlüssel zwischen S_i und S_{i+1} liegen.
 - (c) V_n weist auf den Teilbaum mit Schlüsseln größer als S_n .
 - (d) In den Blattknoten sind die Zeiger nicht definiert.

35

Ein Beispielbaum



36

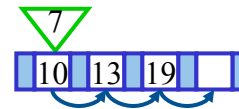
Einfügen eines neuen Objekts (Datensatz) in einen B-Baum



1. Führe eine Suche nach dem Schlüssel durch; diese endet (scheitert) an der Einfügestelle.
2. Füge den Schlüssel dort ein.
3. Ist der Knoten überfüllt, teile ihn
 - Lege einen neuen Knoten an und belege ihn mit den Schlüsseln, die rechts vom mittleren Eintrag des überfüllten Knotens liegen.
 - Füge den mittleren Eintrag im Vaterknoten des überfüllten Knotens ein.
 - Verbinde den Verweis rechts des neuen Eintrags im Vaterknoten mit dem neuen Knoten
4. Ist der Vaterknoten jetzt überfüllt?
 - Handelt es sich um die Wurzel, so lege eine neue Wurzel an.
 - Wiederhole Schritt 3 mit dem Vaterknoten.

37

Sukzessiver Aufbau eines B-Baums vom Grad $k=2$



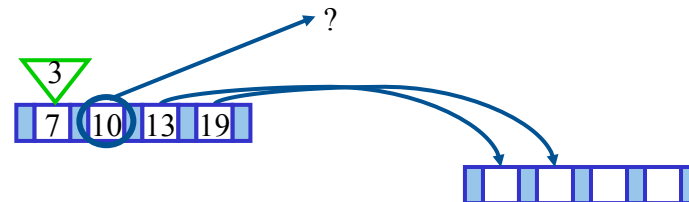
38

Sukzessiver Aufbau eines B-Baums vom Grad $k=2$



39

Sukzessiver Aufbau eines B-Baums vom Grad $k=2$



40

Sukzessiver Aufbau eines B-Baums
vom Grad $k=2$

41

Sukzessiver Aufbau eines B-Baums
vom Grad $k=2$

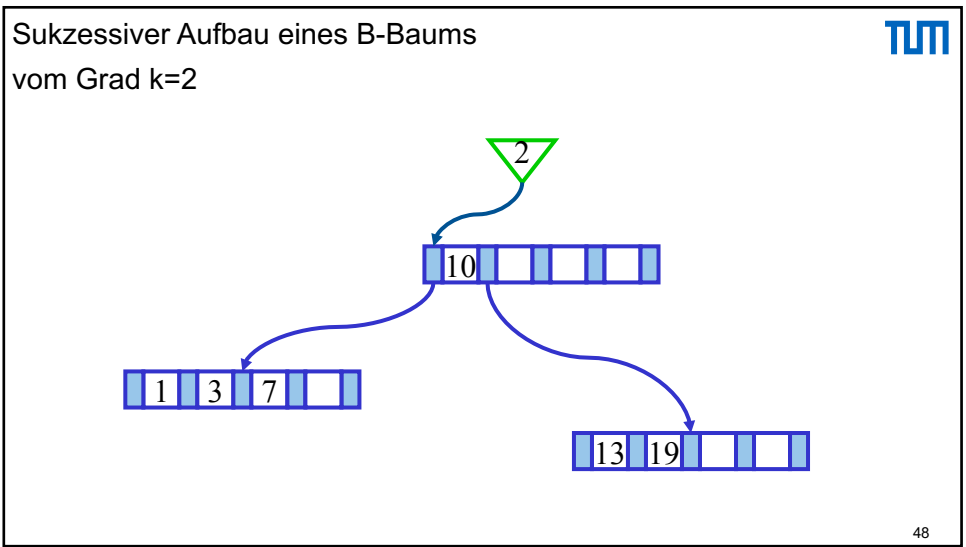
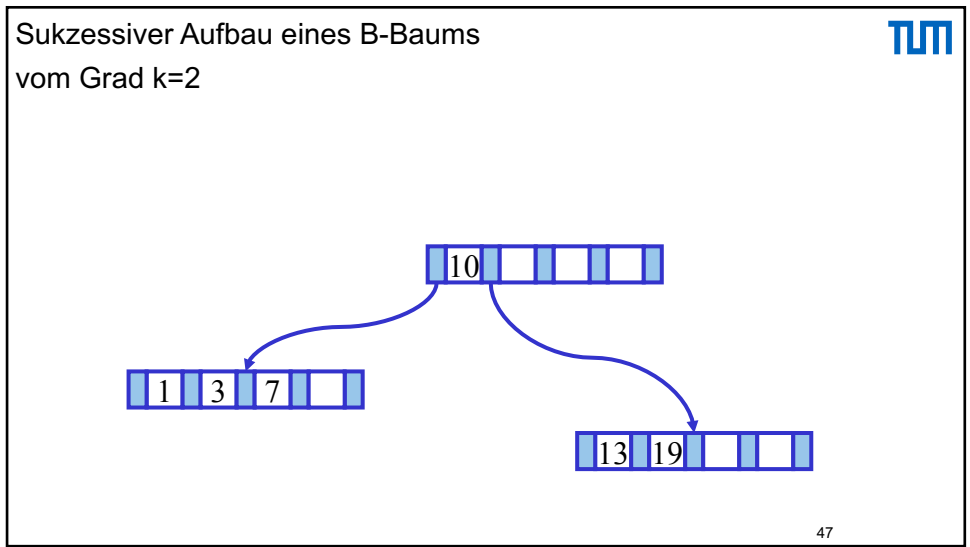
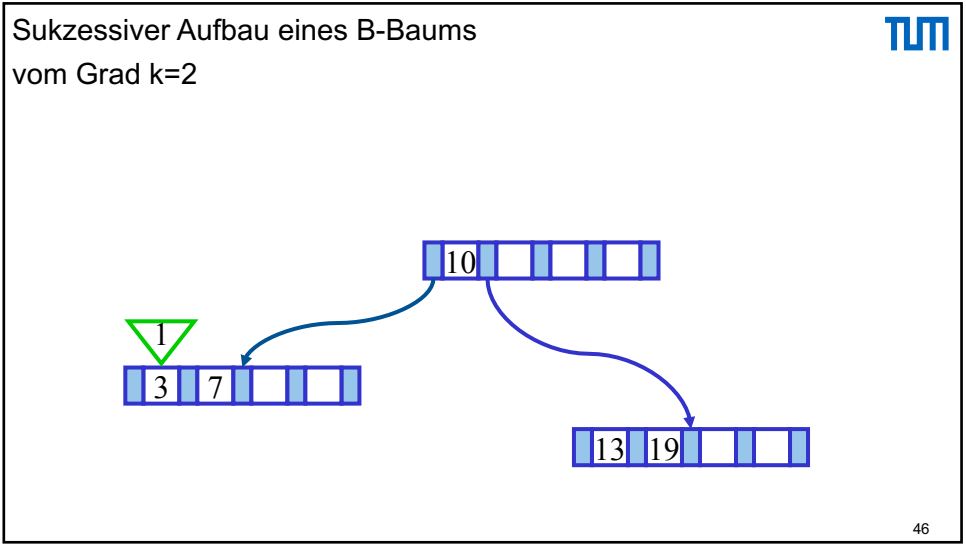
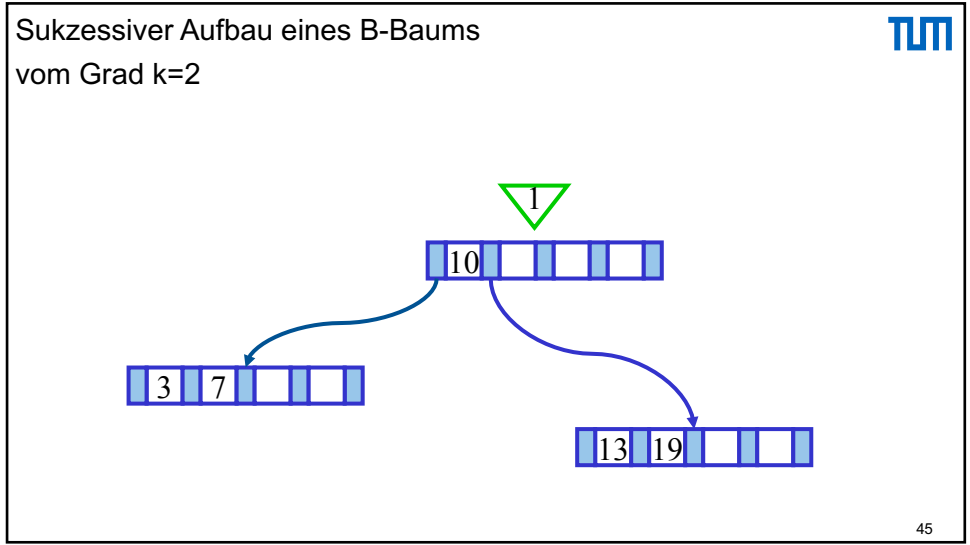
42

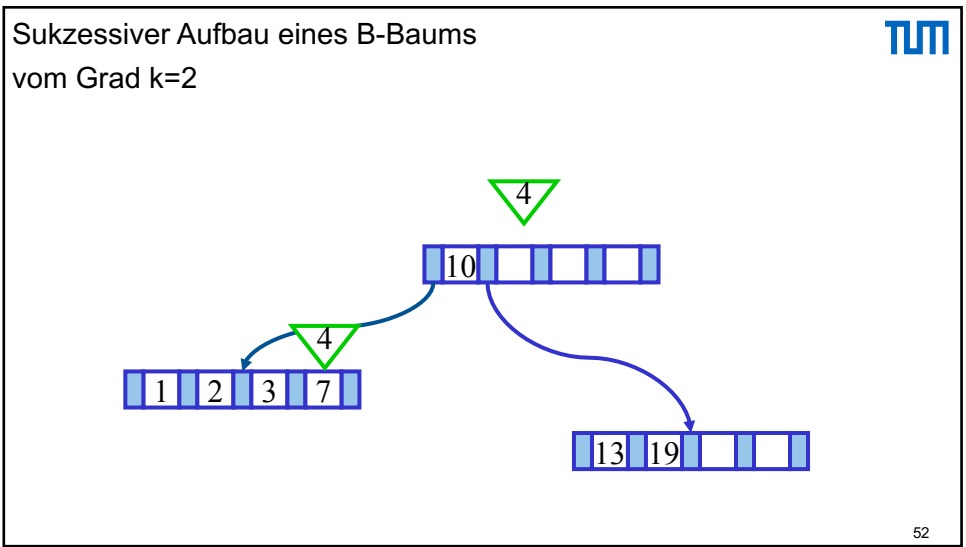
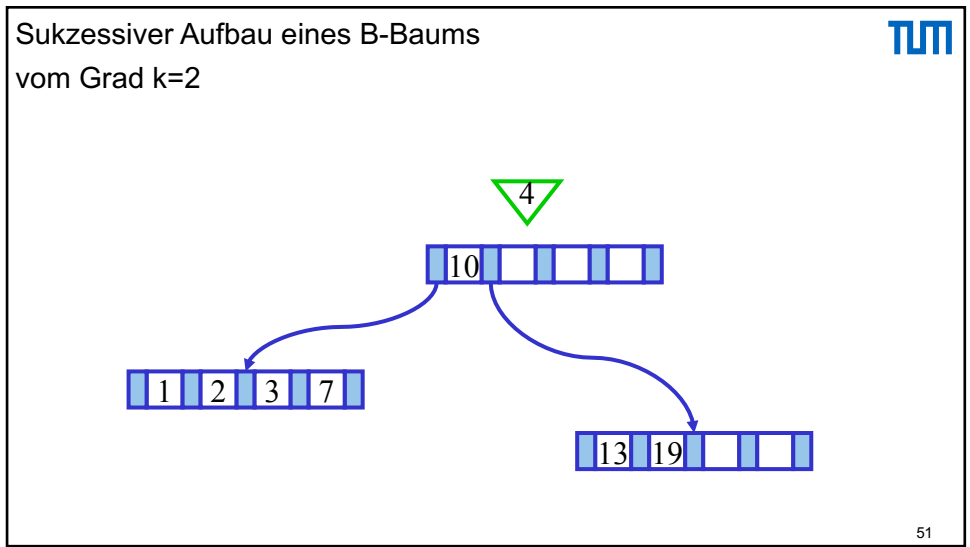
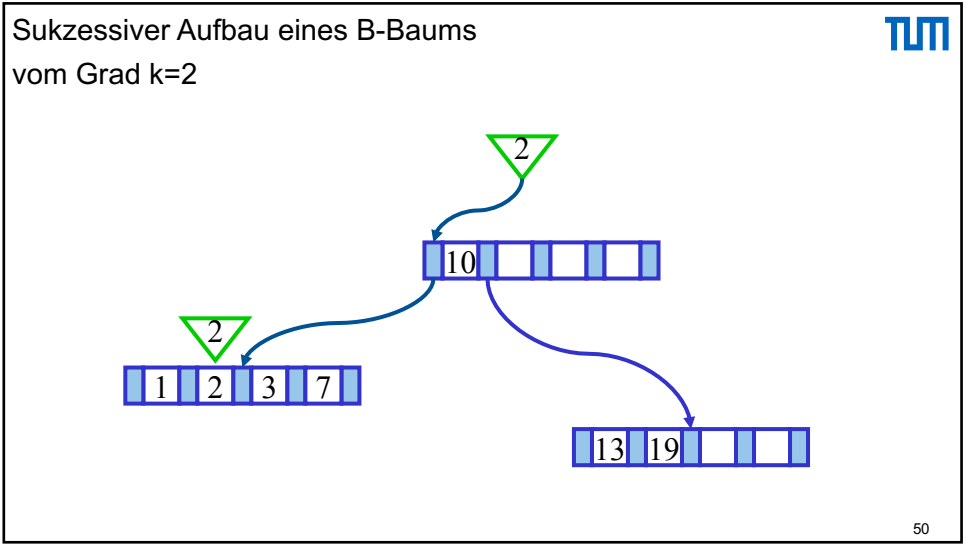
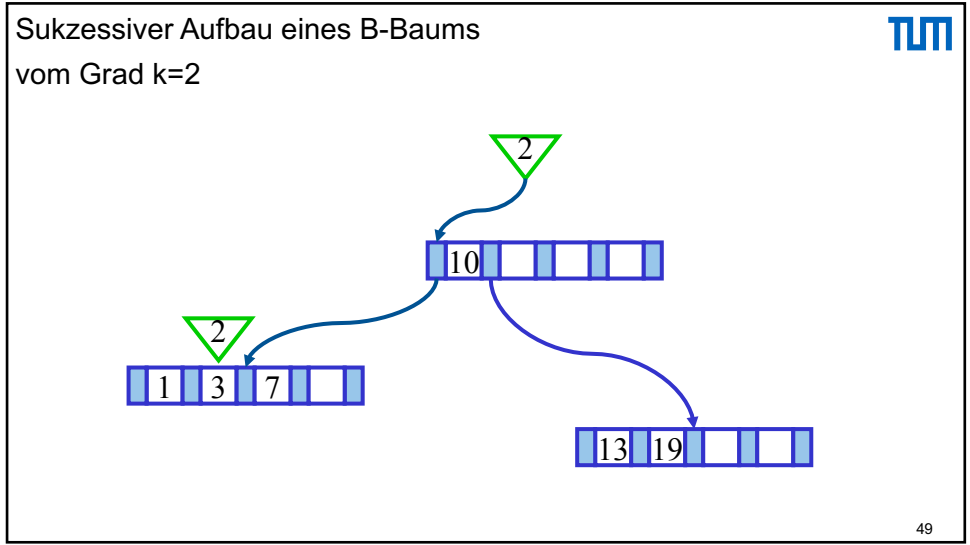
Sukzessiver Aufbau eines B-Baums
vom Grad $k=2$

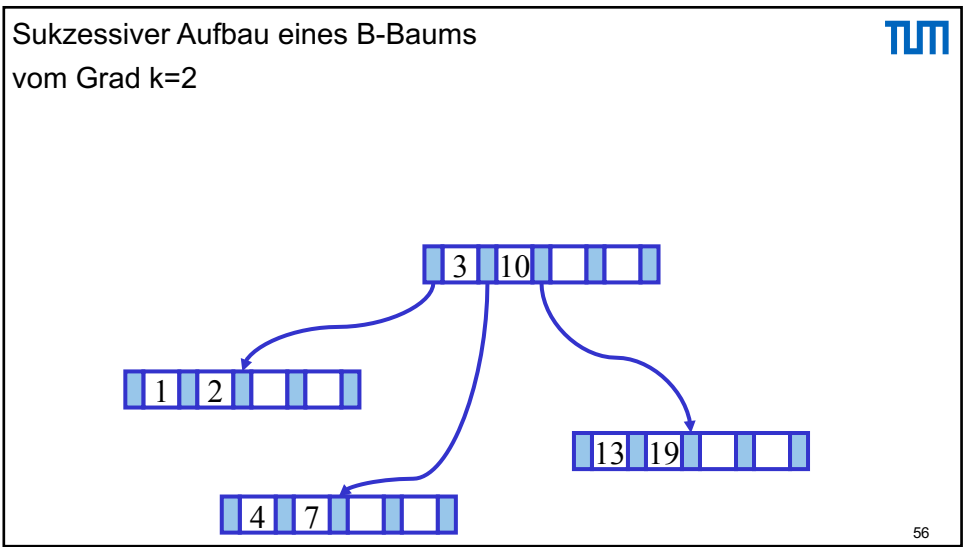
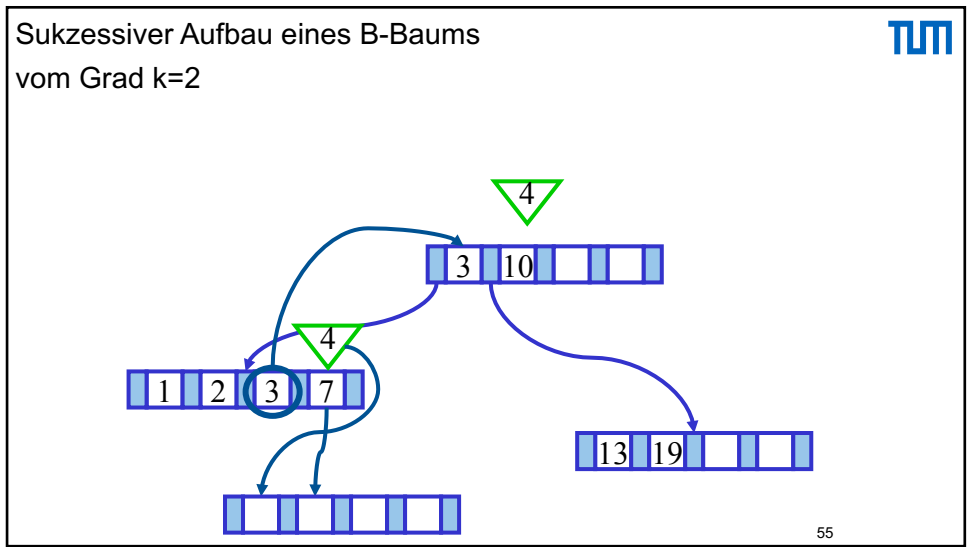
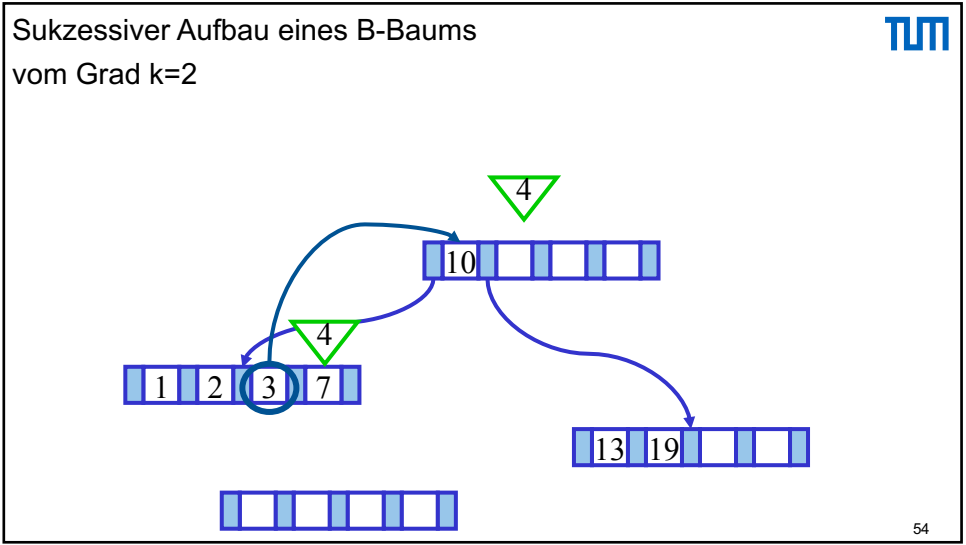
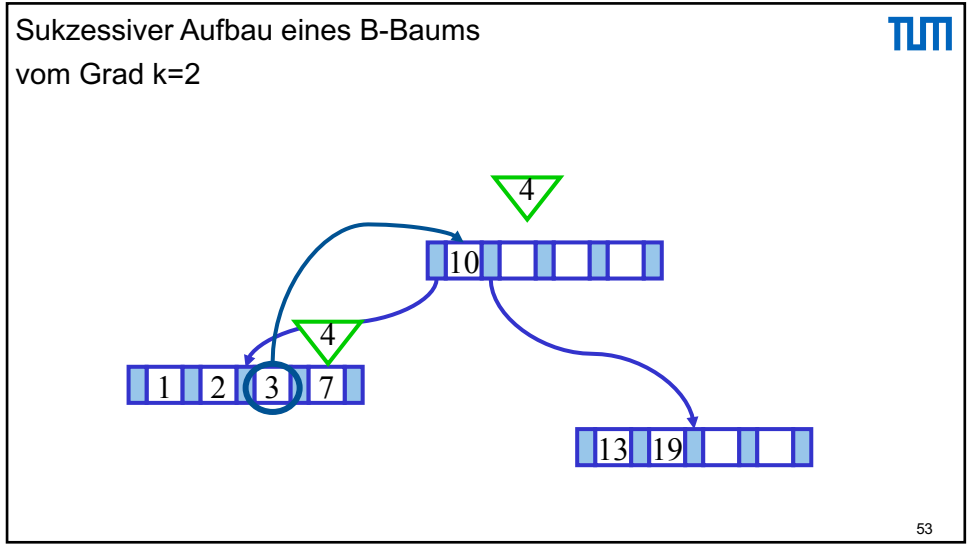
43

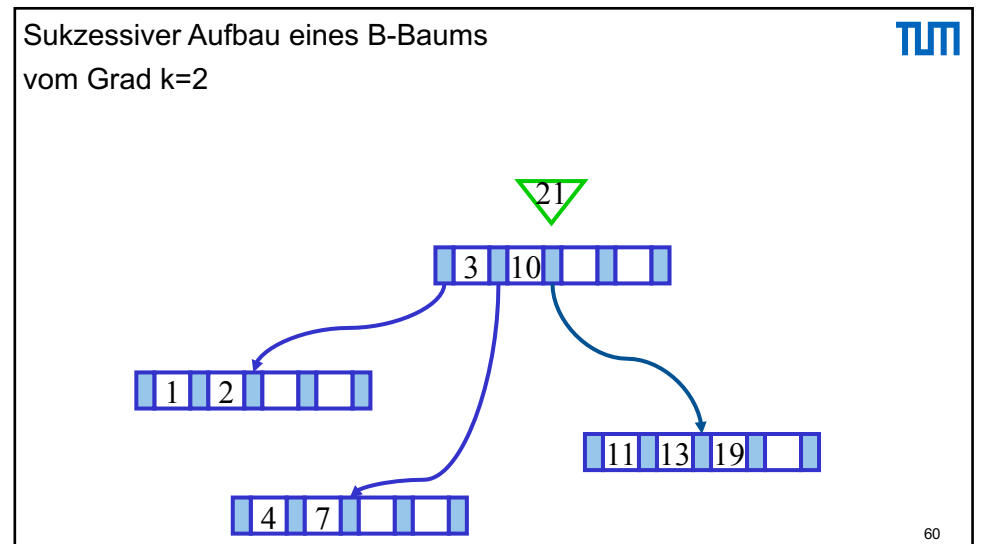
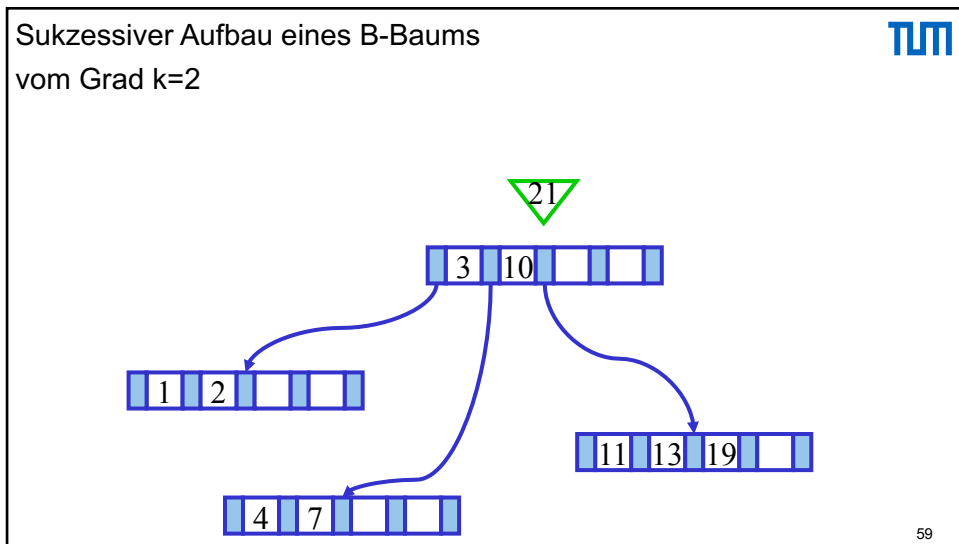
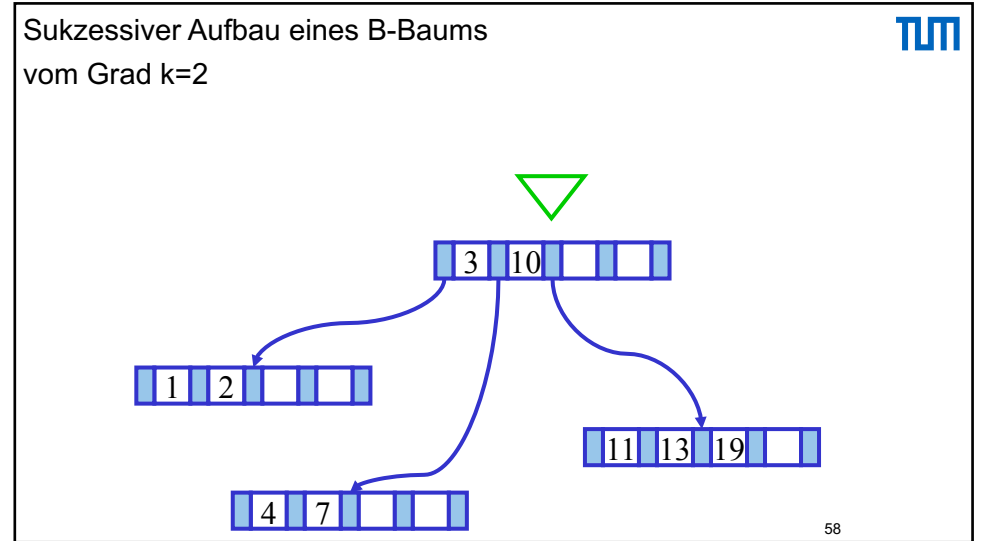
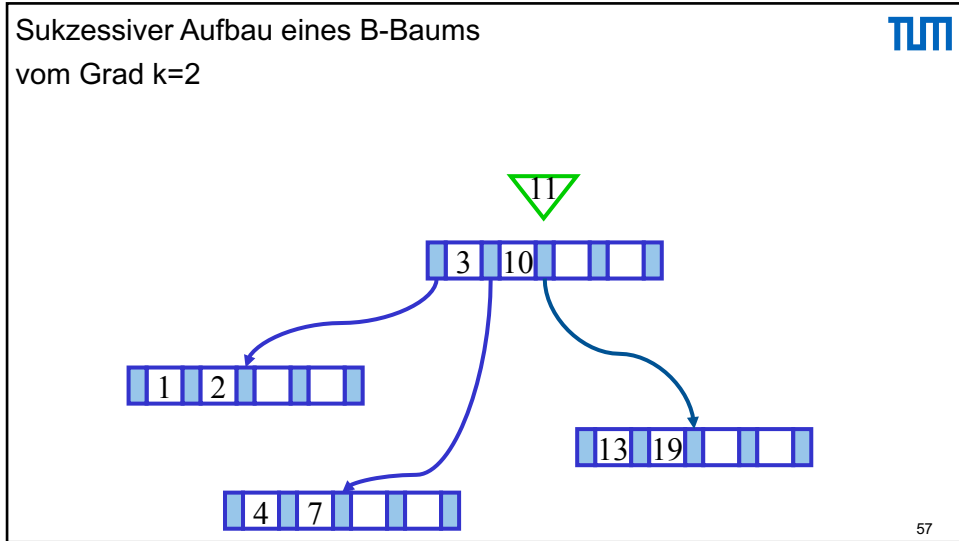
Sukzessiver Aufbau eines B-Baums
vom Grad $k=2$

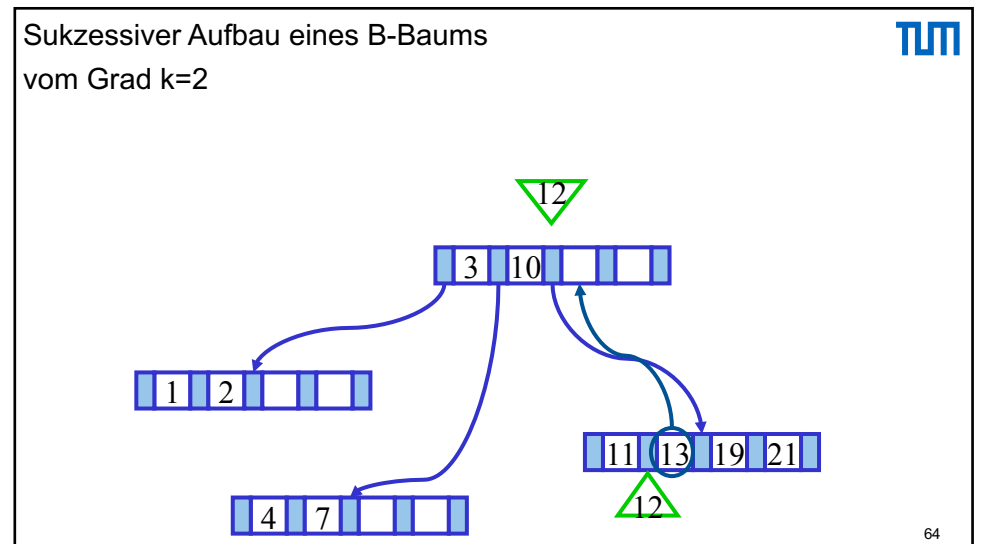
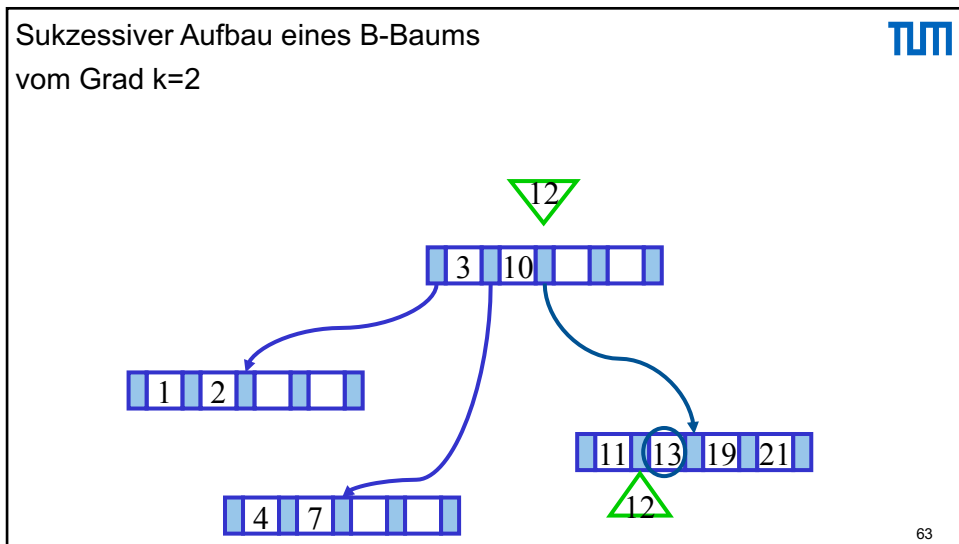
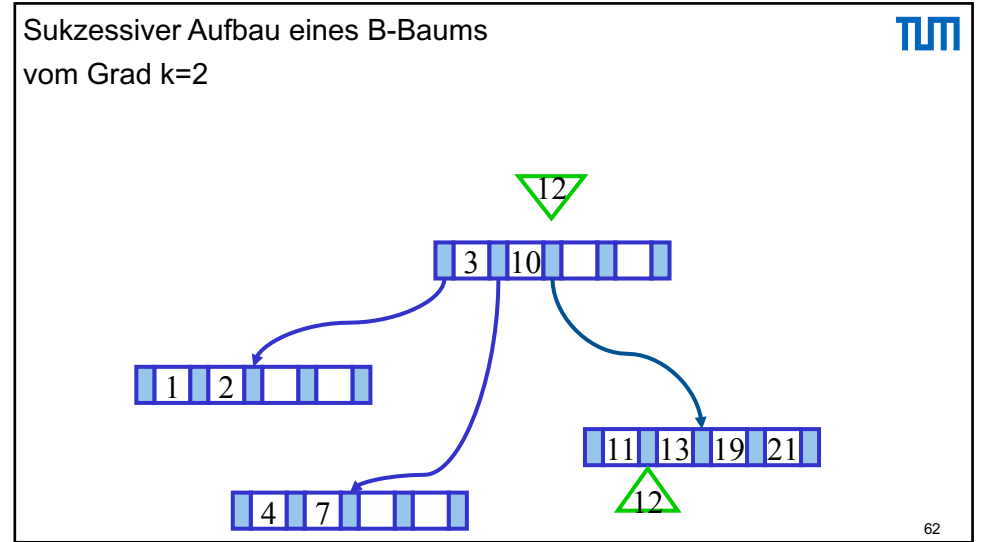
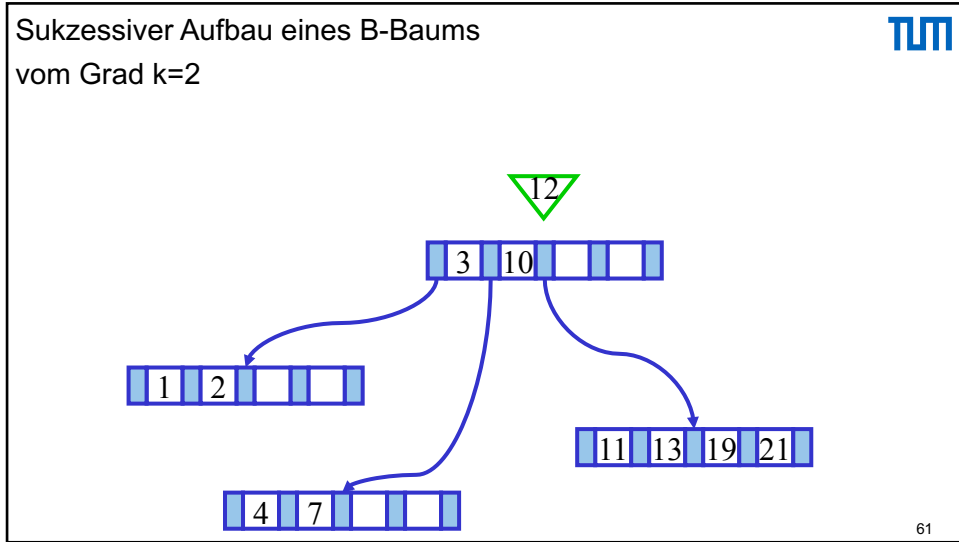
44

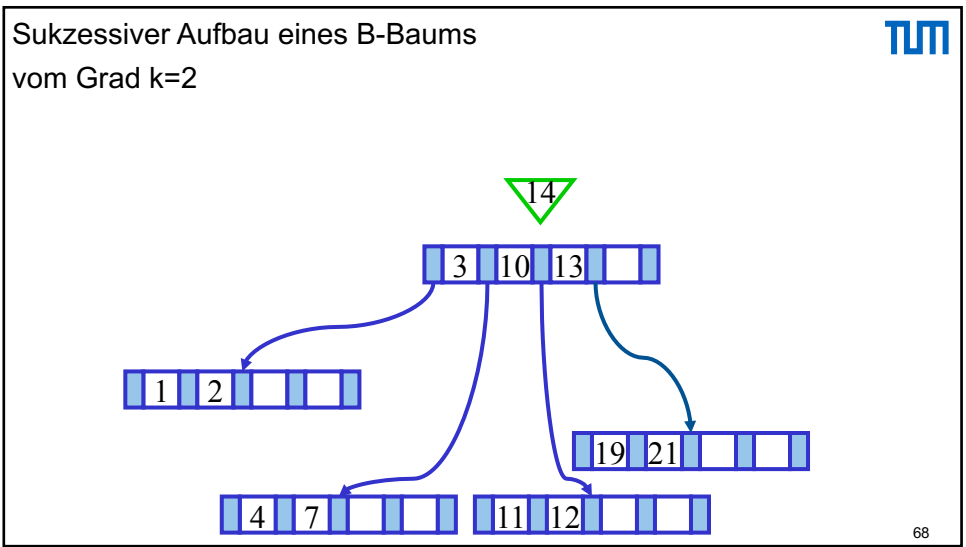
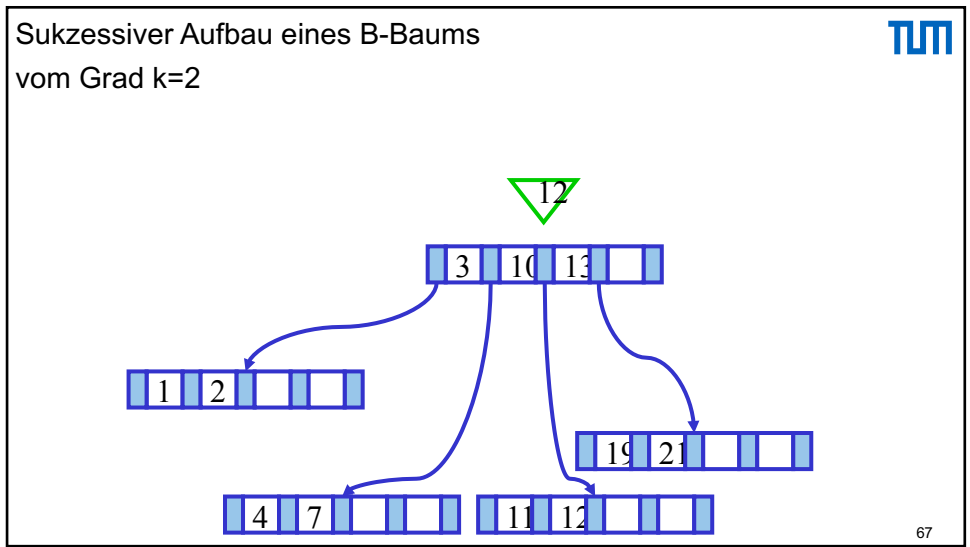
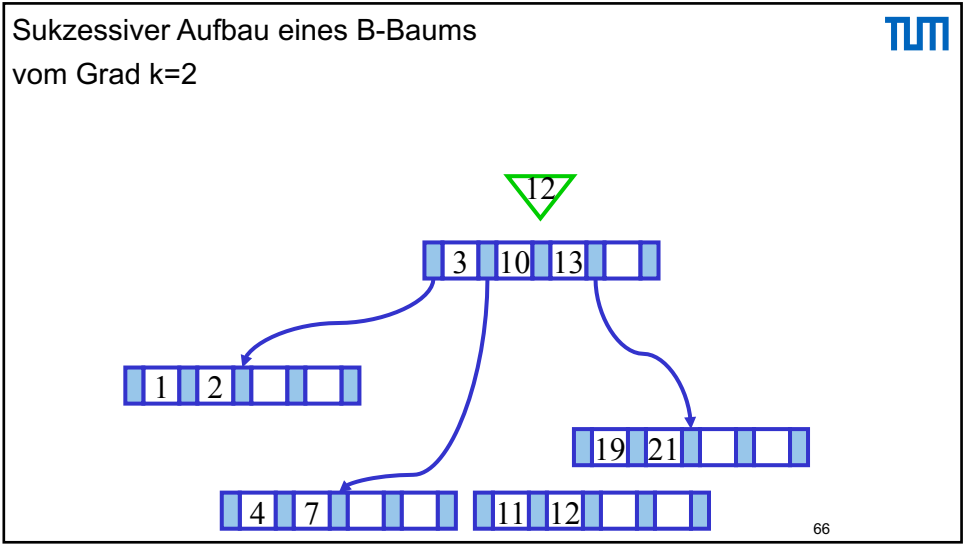
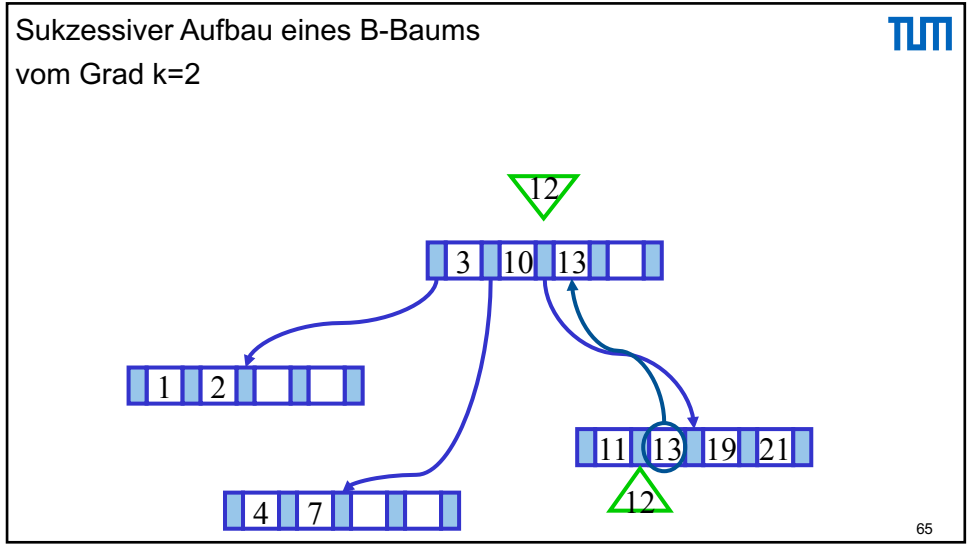


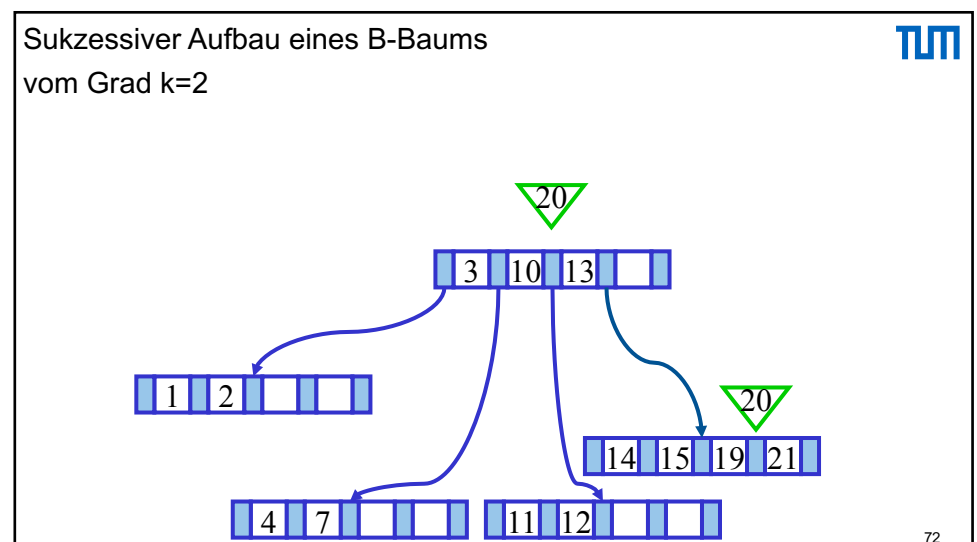
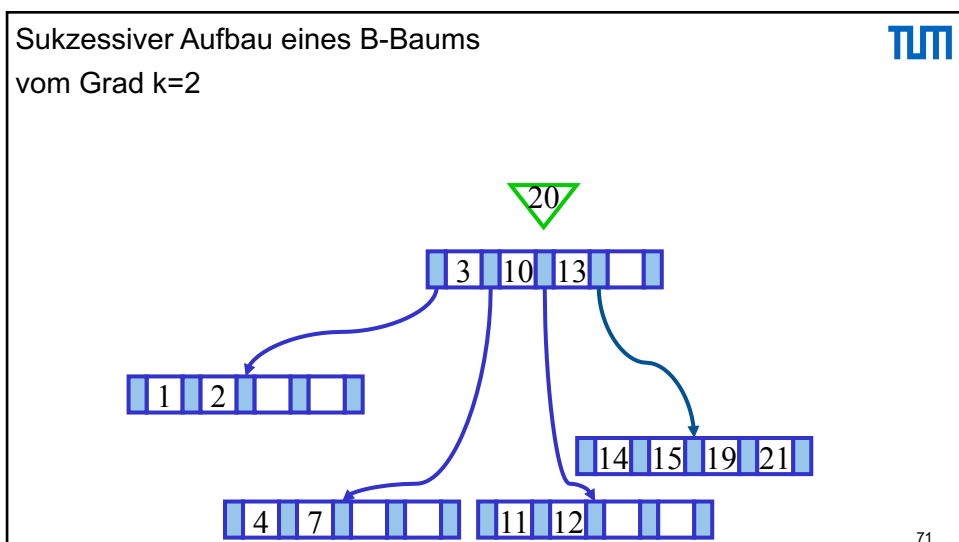
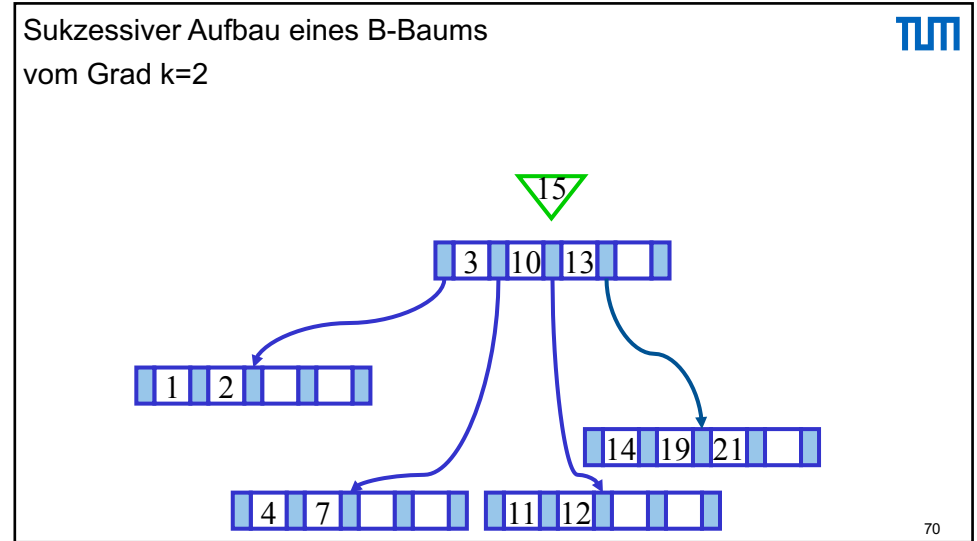
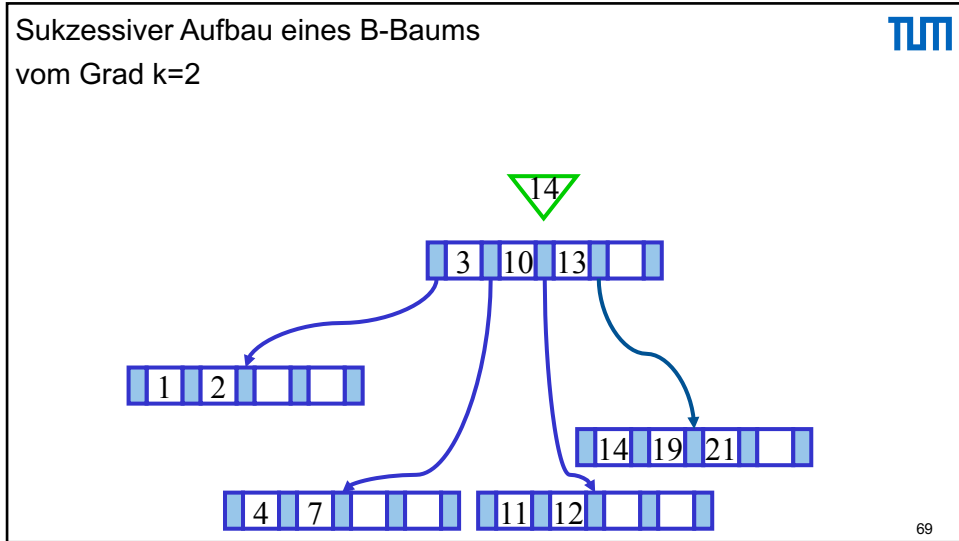




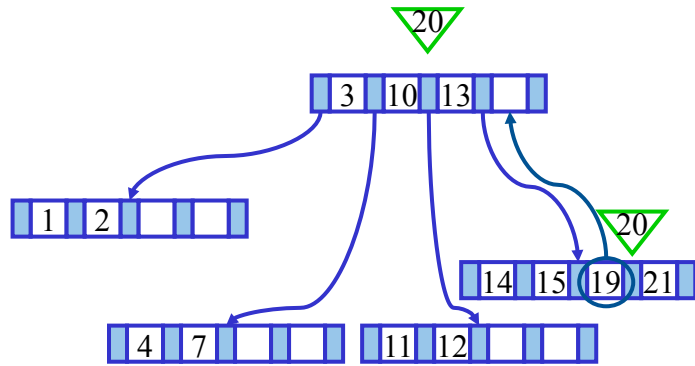






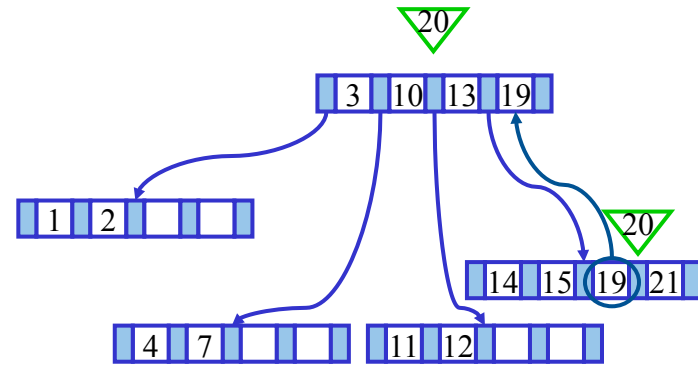


Sukzessiver Aufbau eines B-Baums
vom Grad $k=2$



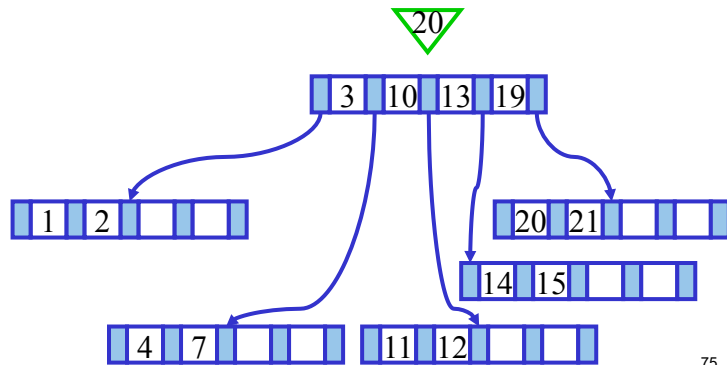
73

Sukzessiver Aufbau eines B-Baums
vom Grad $k=2$



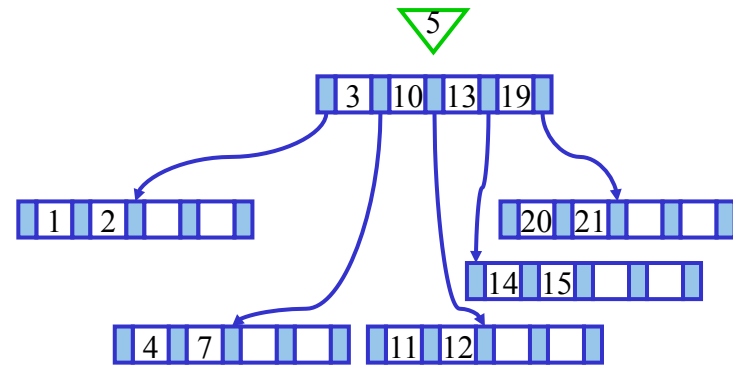
74

Sukzessiver Aufbau eines B-Baums
vom Grad $k=2$



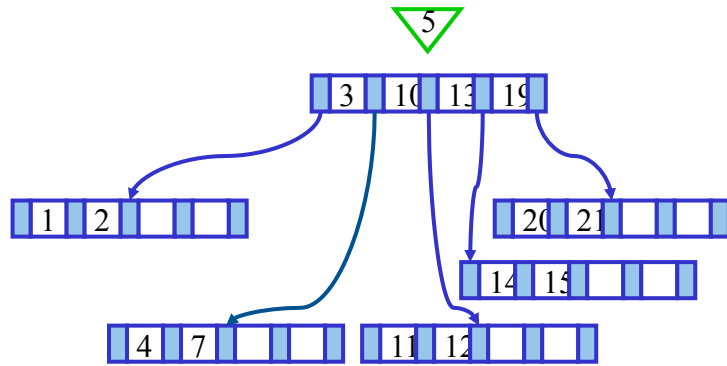
75

Sukzessiver Aufbau eines B-Baums
vom Grad $k=2$



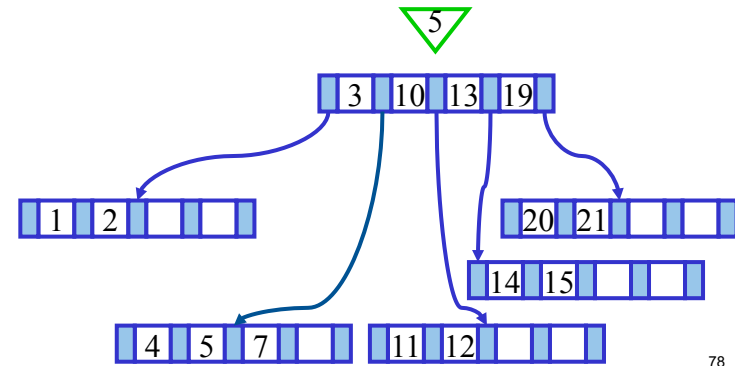
76

Sukzessiver Aufbau eines B-Baums
vom Grad $k=2$



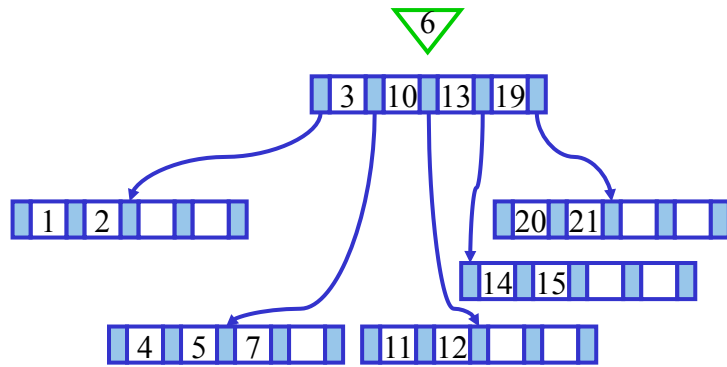
77

Sukzessiver Aufbau eines B-Baums
vom Grad $k=2$



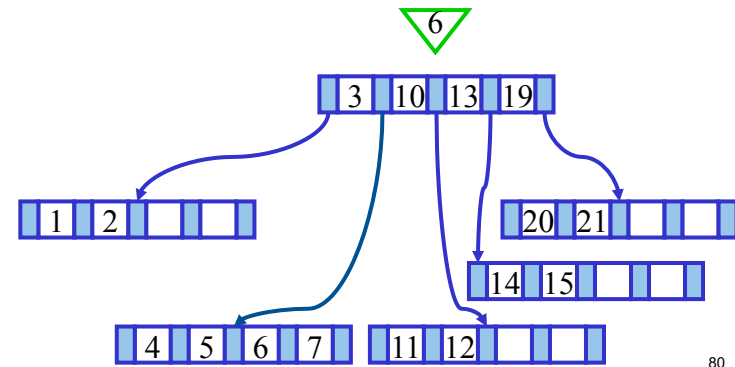
78

Sukzessiver Aufbau eines B-Baums
vom Grad $k=2$



79

Sukzessiver Aufbau eines B-Baums
vom Grad $k=2$



80

TUM

81

Sukzessiver Aufbau eines B-Baums
vom Grad $k=2$

TUM

82

Sukzessiver Aufbau eines B-Baums
vom Grad $k=2$

TUM

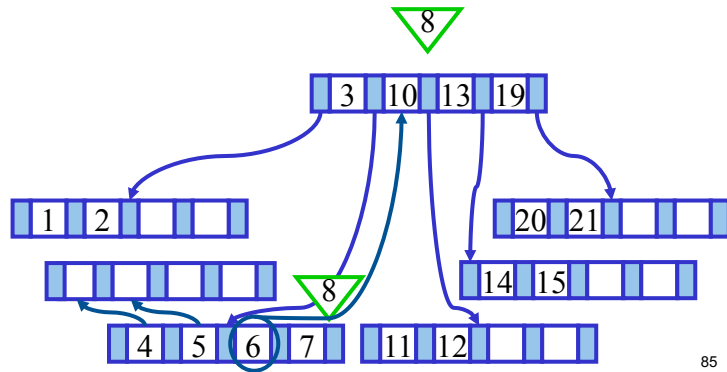
83

Sukzessiver Aufbau eines B-Baums
vom Grad $k=2$

TUM

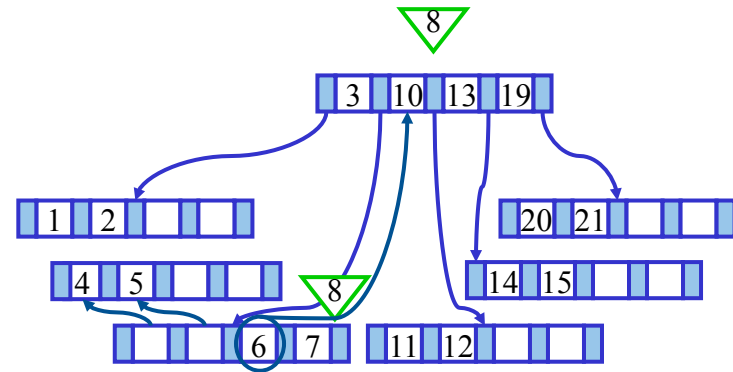
84

Sukzessiver Aufbau eines B-Baums
vom Grad $k=2$



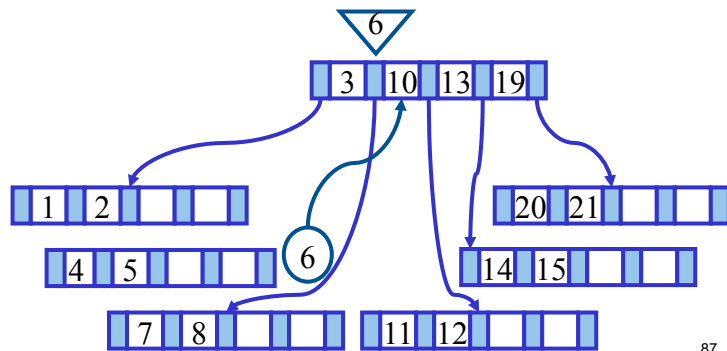
85

Sukzessiver Aufbau eines B-Baums
vom Grad $k=2$



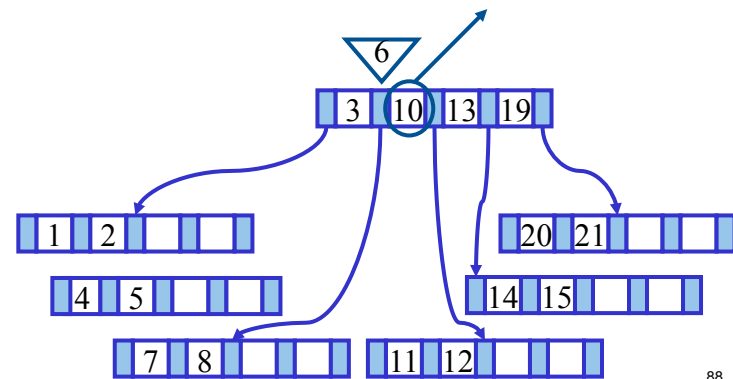
86

Sukzessiver Aufbau eines B-Baums
vom Grad $k=2$



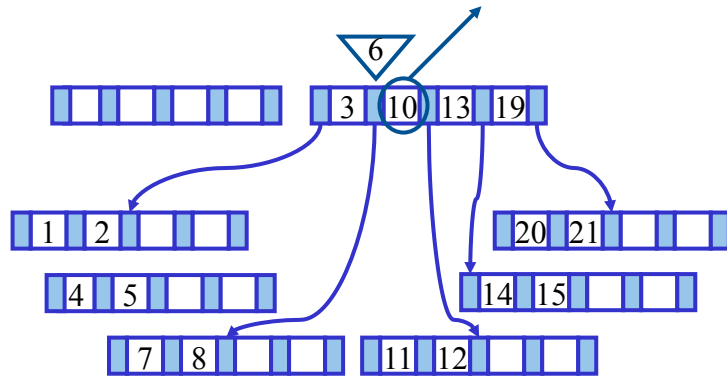
87

Sukzessiver Aufbau eines B-Baums
vom Grad $k=2$



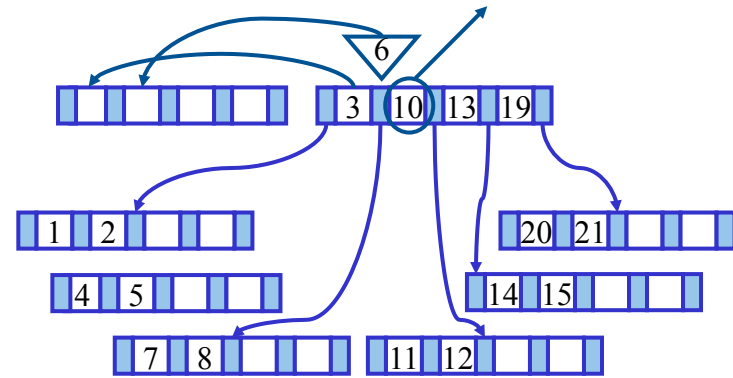
88

Sukzessiver Aufbau eines B-Baums
vom Grad $k=2$



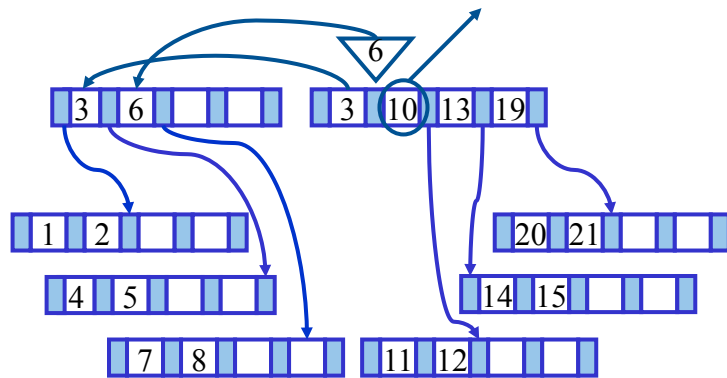
89

Sukzessiver Aufbau eines B-Baums
vom Grad $k=2$



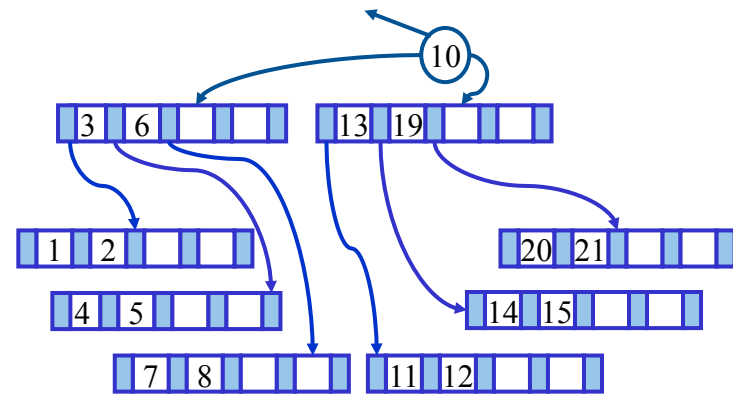
90

Sukzessiver Aufbau eines B-Baums
vom Grad $k=2$



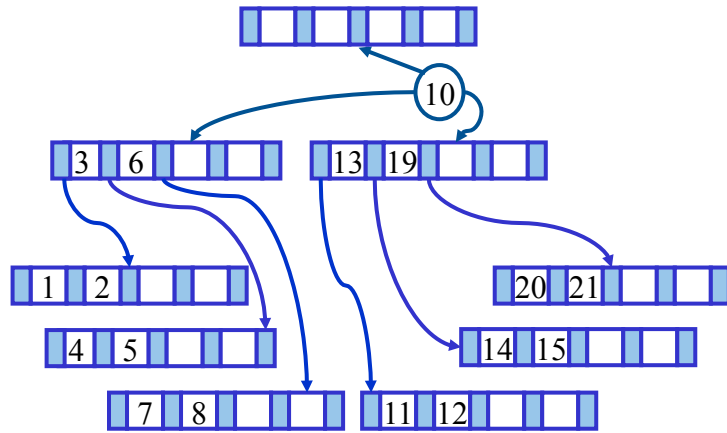
91

Sukzessiver Aufbau eines B-Baums
vom Grad $k=2$



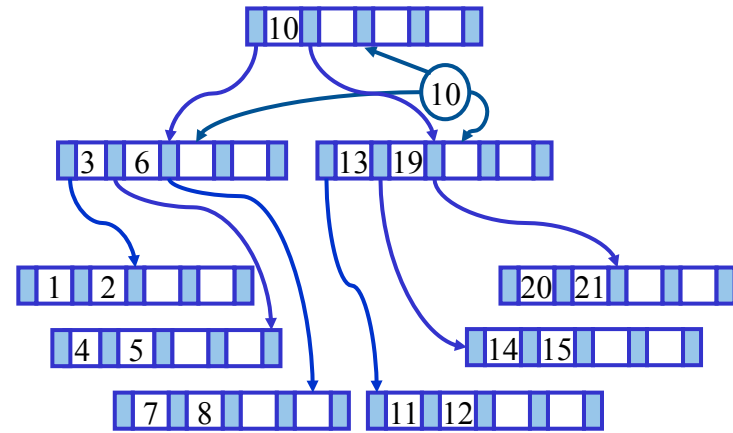
92

Sukzessiver Aufbau eines B-Baums
vom Grad $k=2$



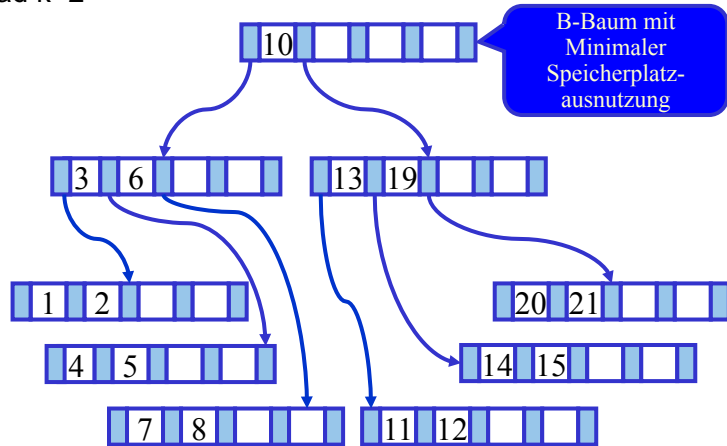
93

Sukzessiver Aufbau eines B-Baums
vom Grad $k=2$



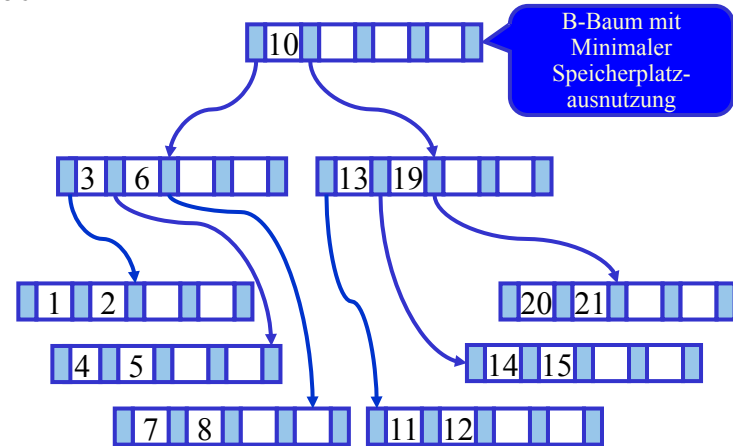
94

Sukzessiver Aufbau eines B-Baums
vom Grad $k=2$

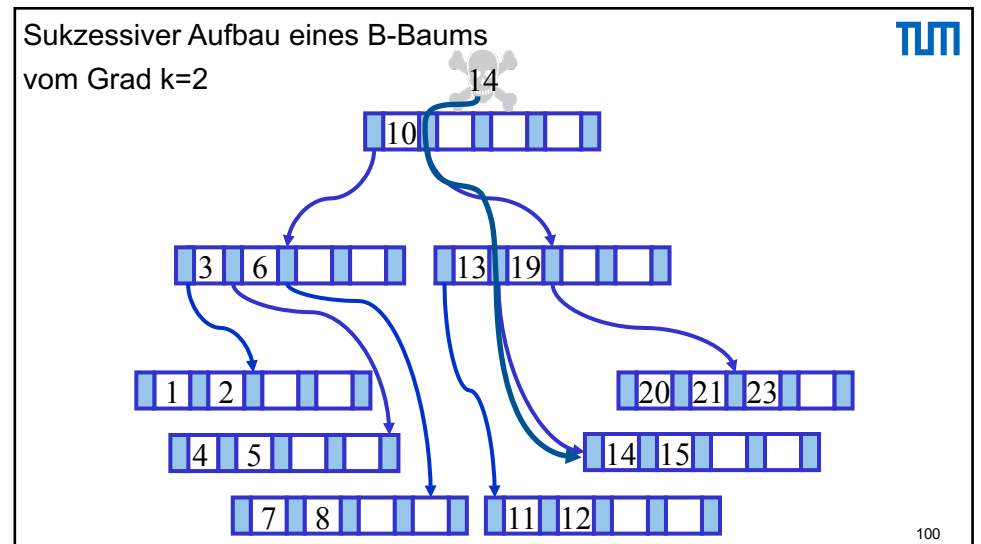
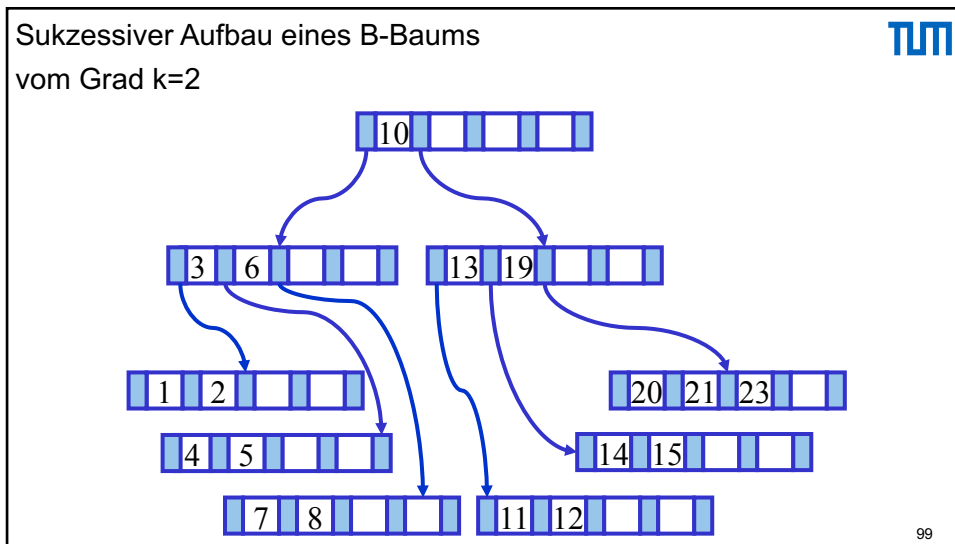
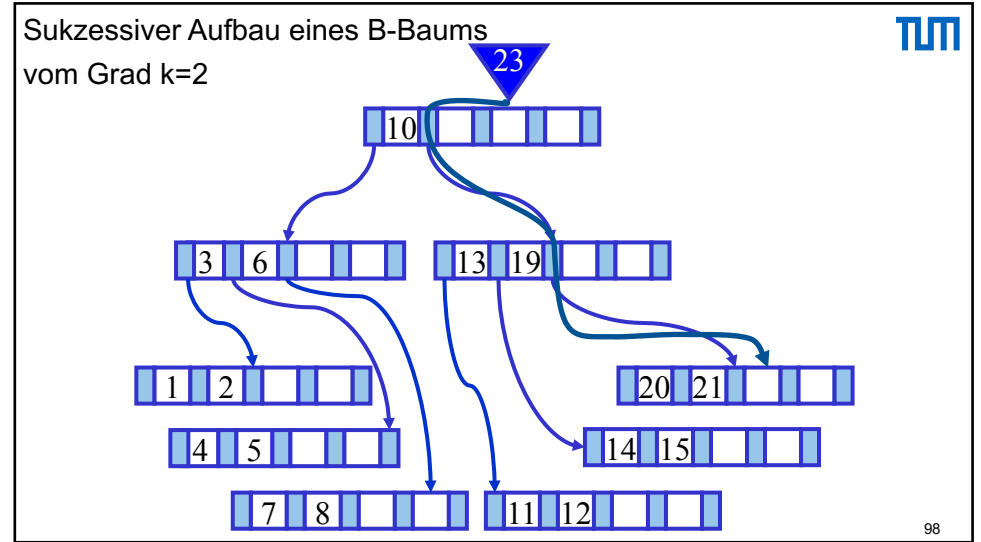
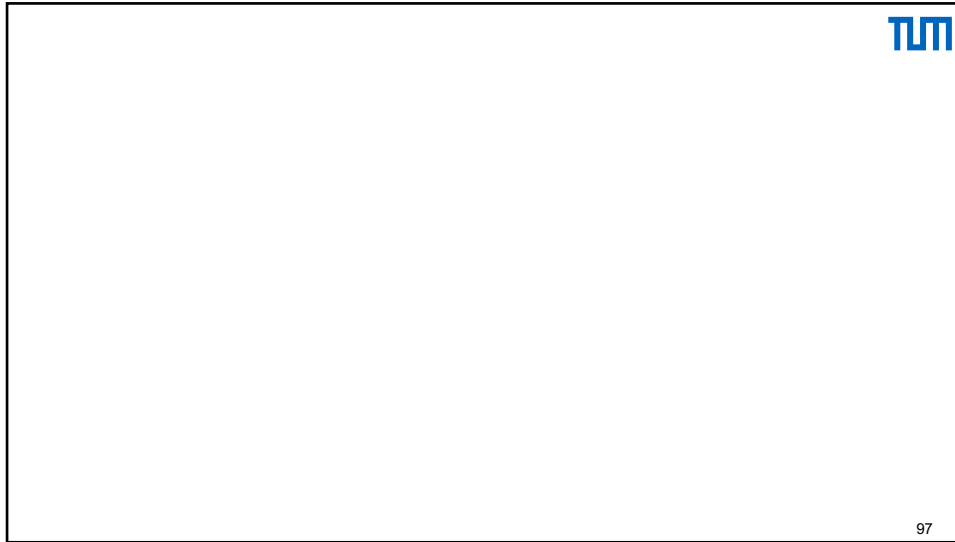


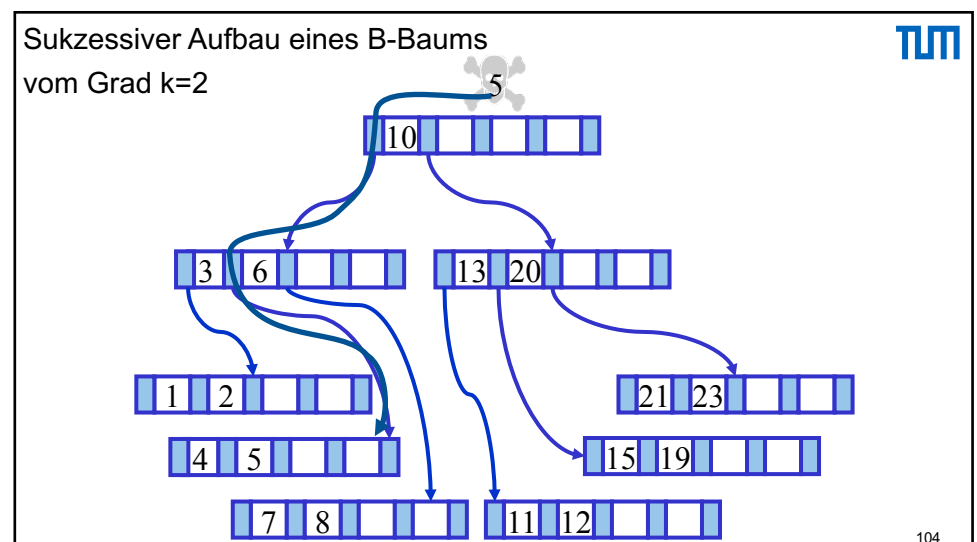
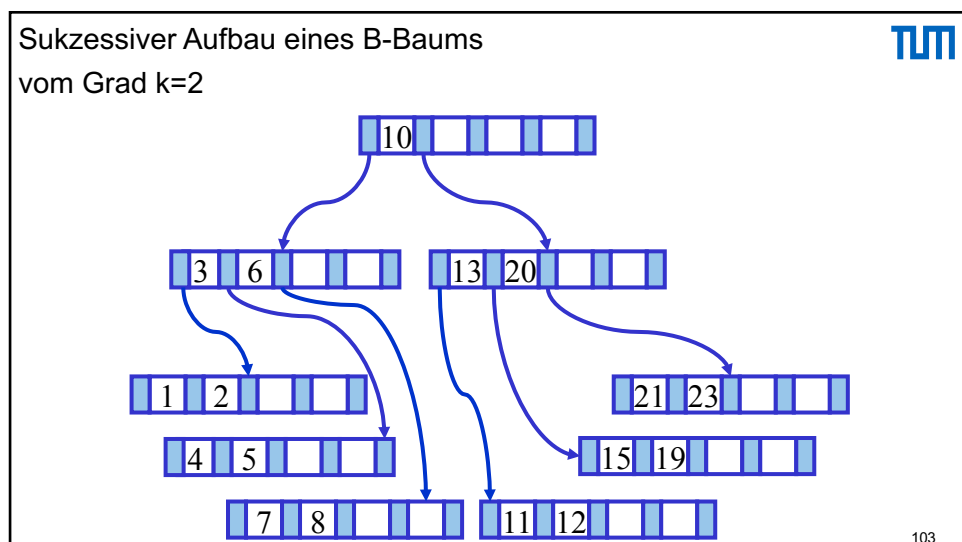
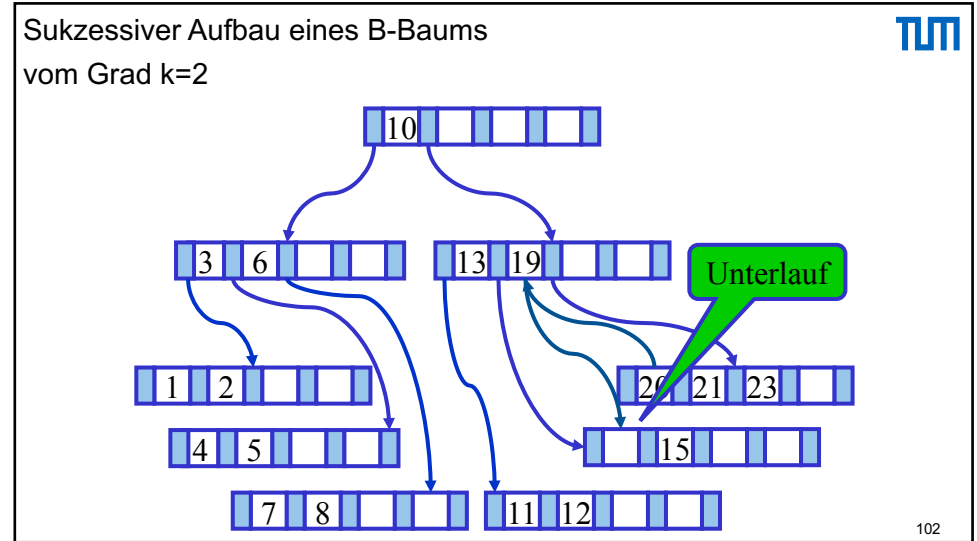
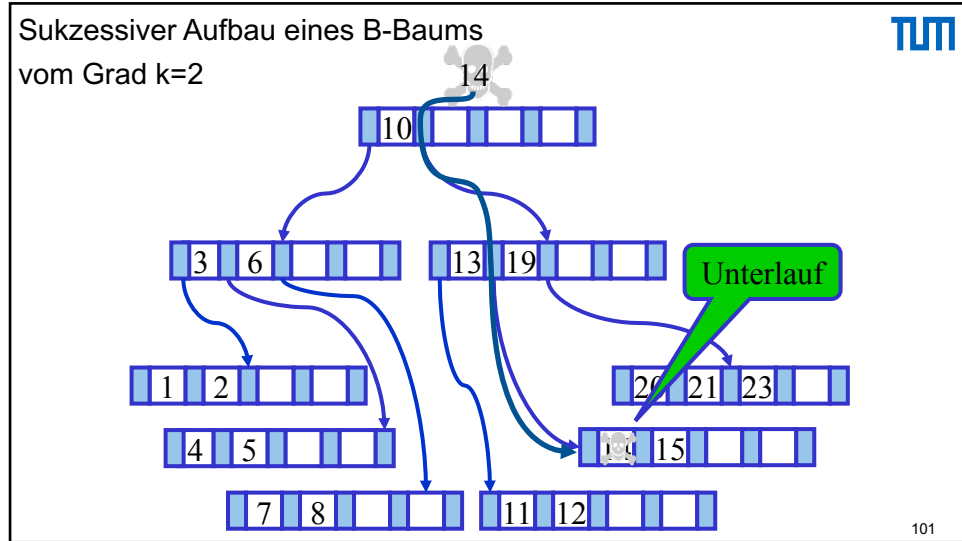
95

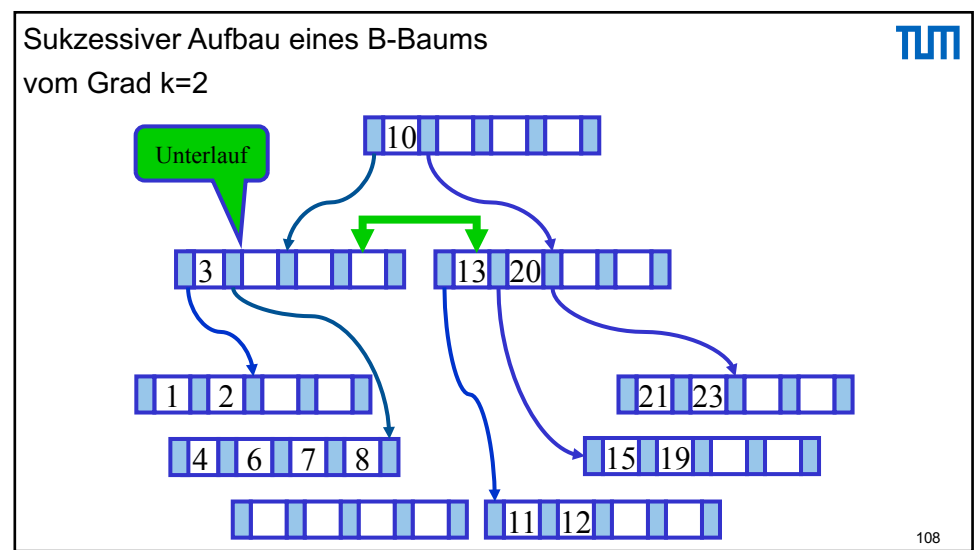
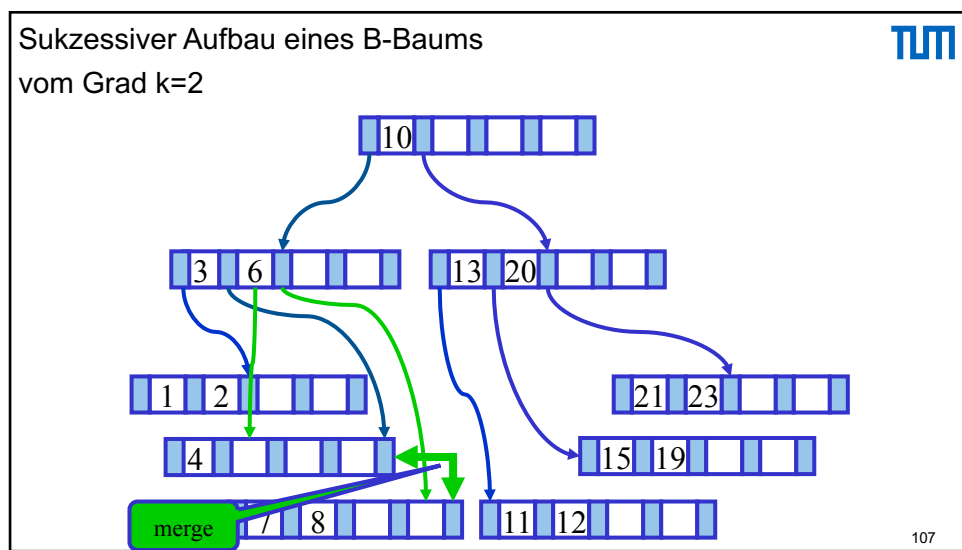
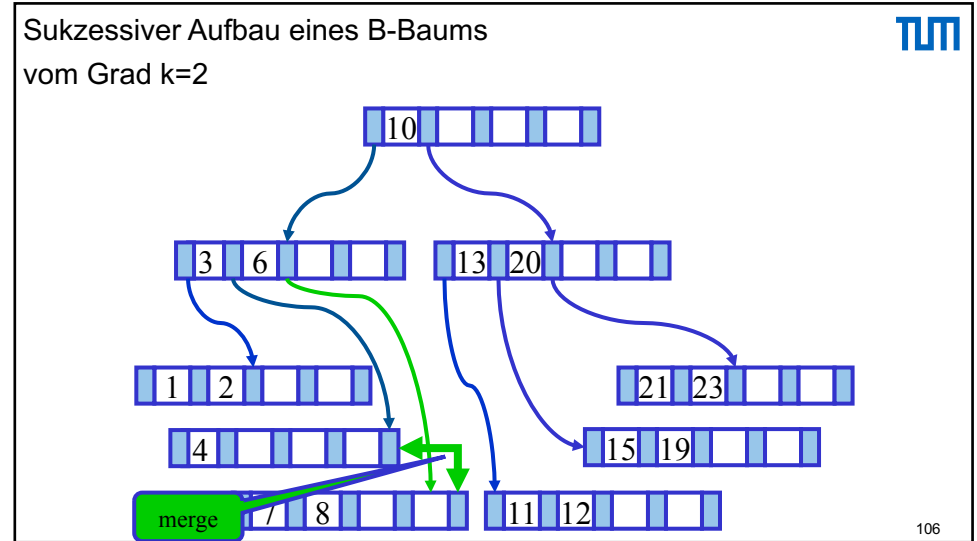
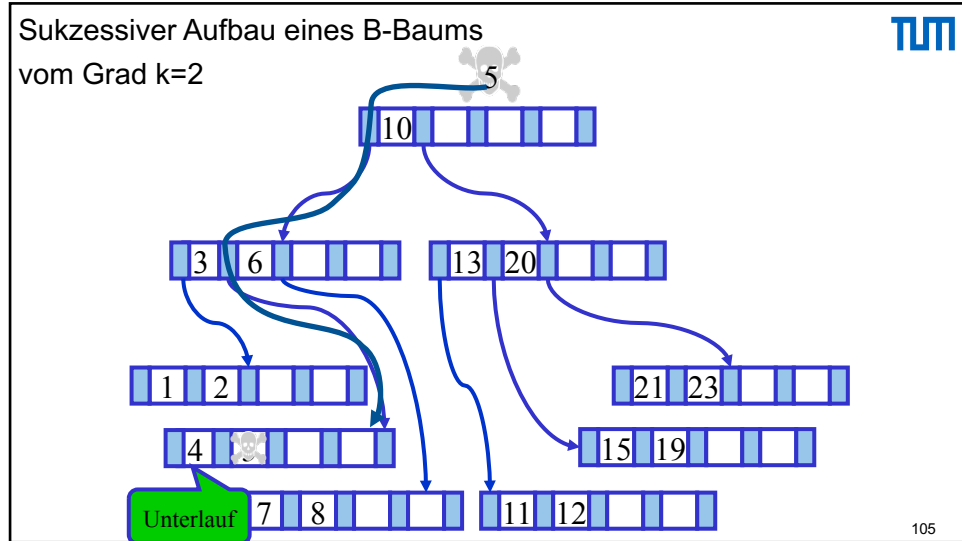
Sukzessiver Aufbau eines B-Baums
vom Grad $k=2$



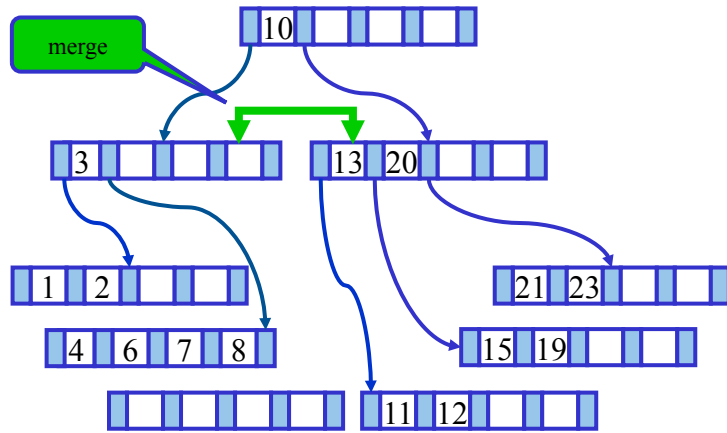
96





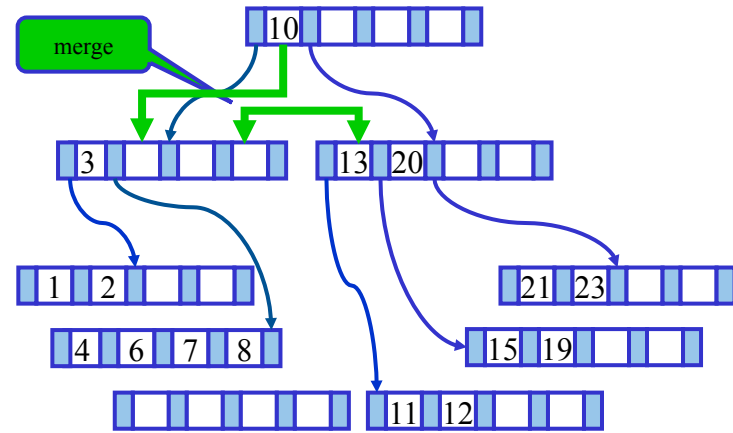


Sukzessiver Aufbau eines B-Baums
vom Grad $k=2$



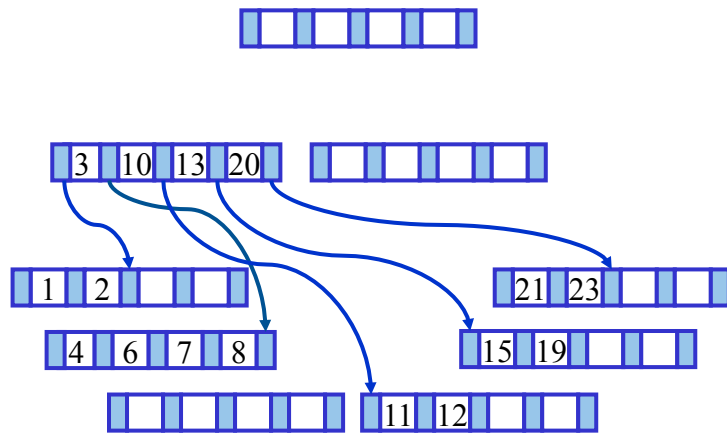
109

Sukzessiver Aufbau eines B-Baums
vom Grad $k=2$



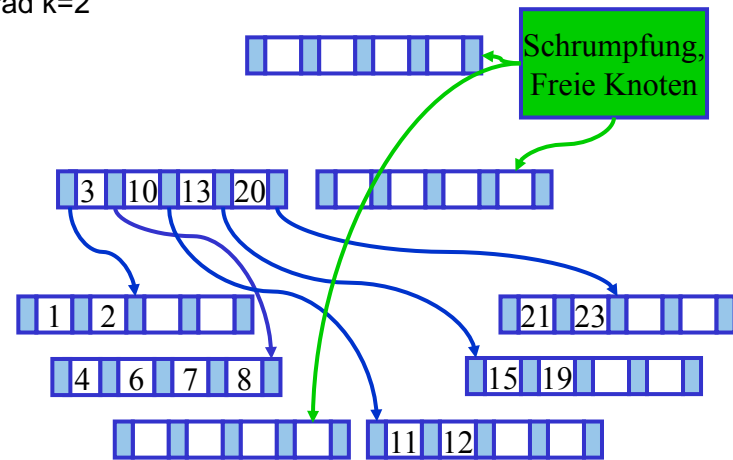
110

Sukzessiver Aufbau eines B-Baums
vom Grad $k=2$

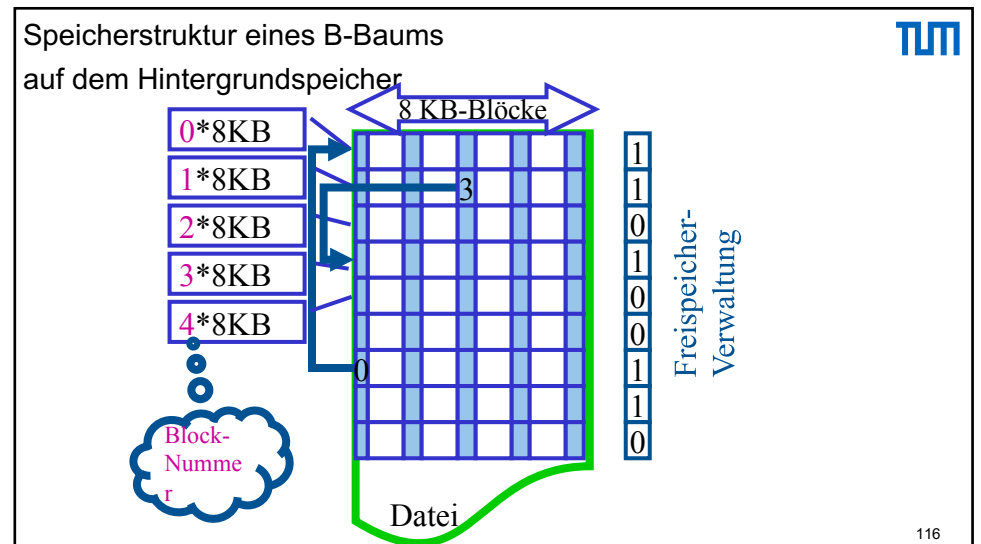
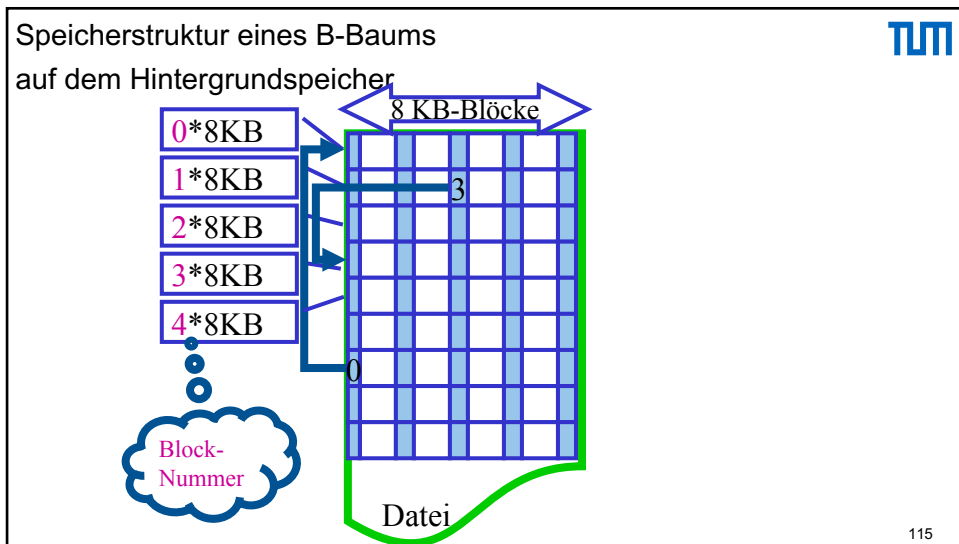
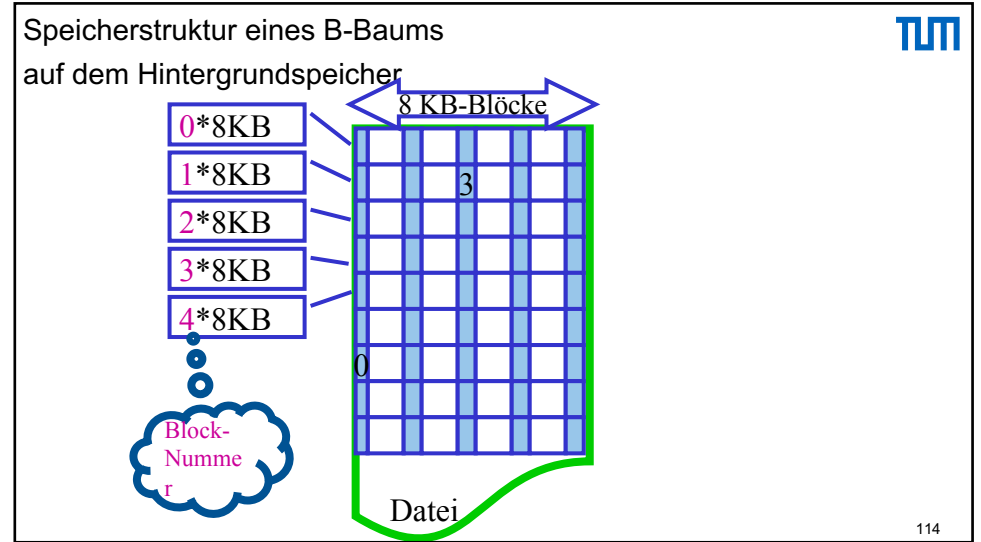
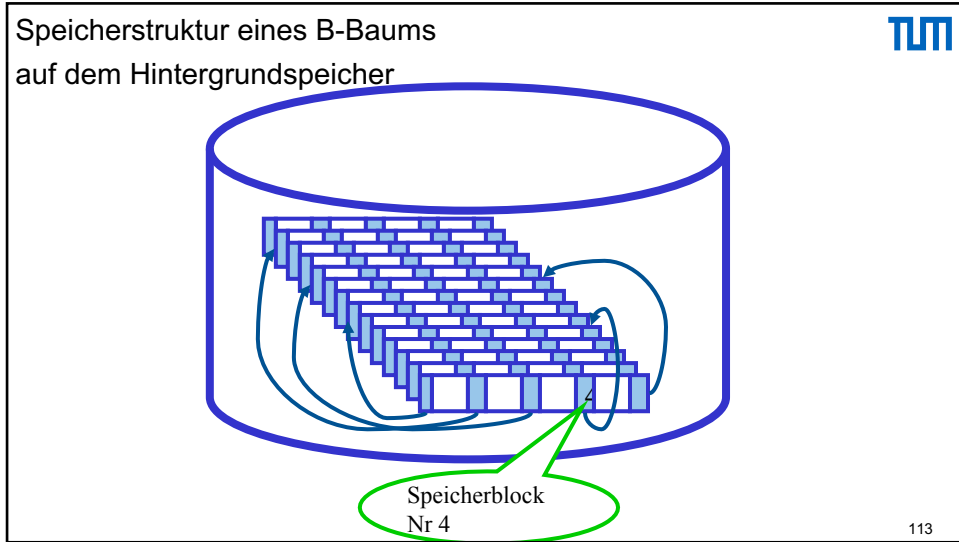


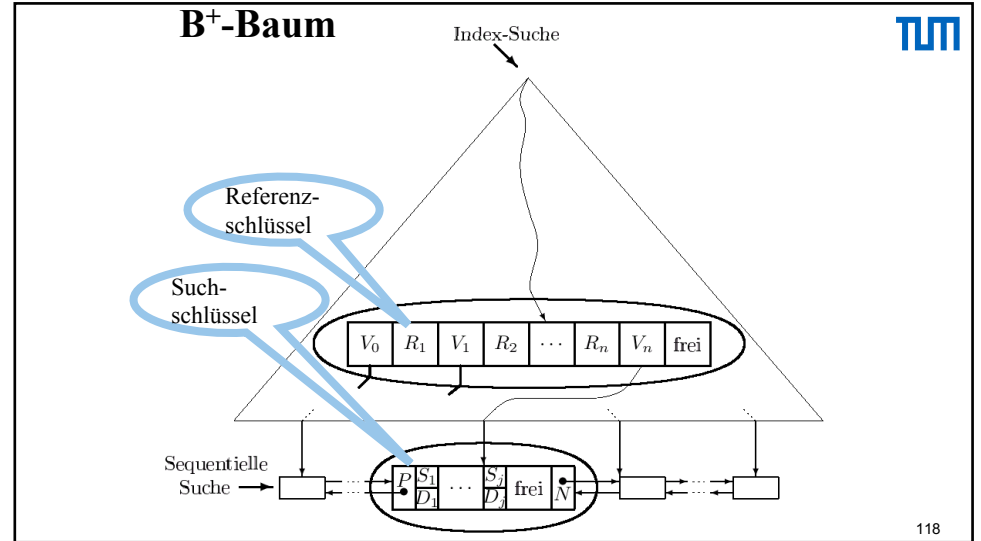
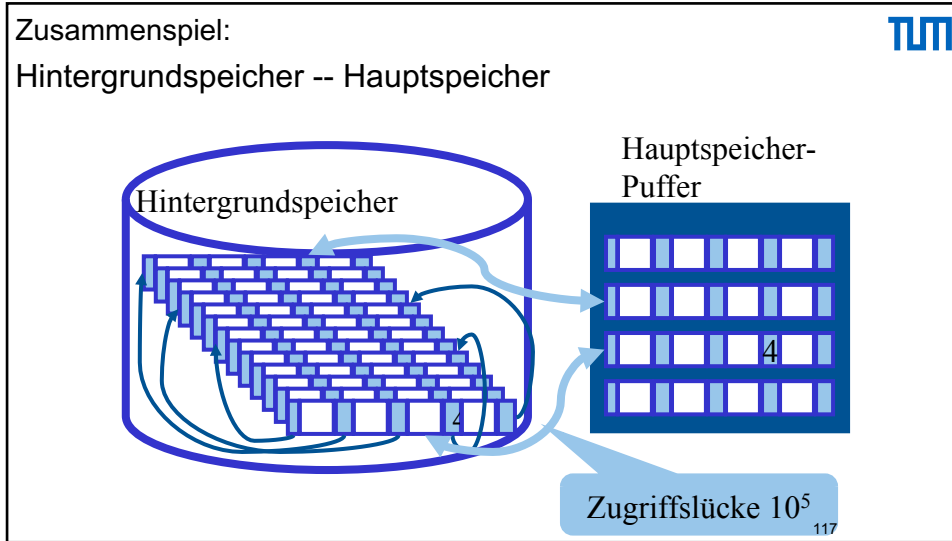
111

Sukzessiver Aufbau eines B-Baums
vom Grad $k=2$

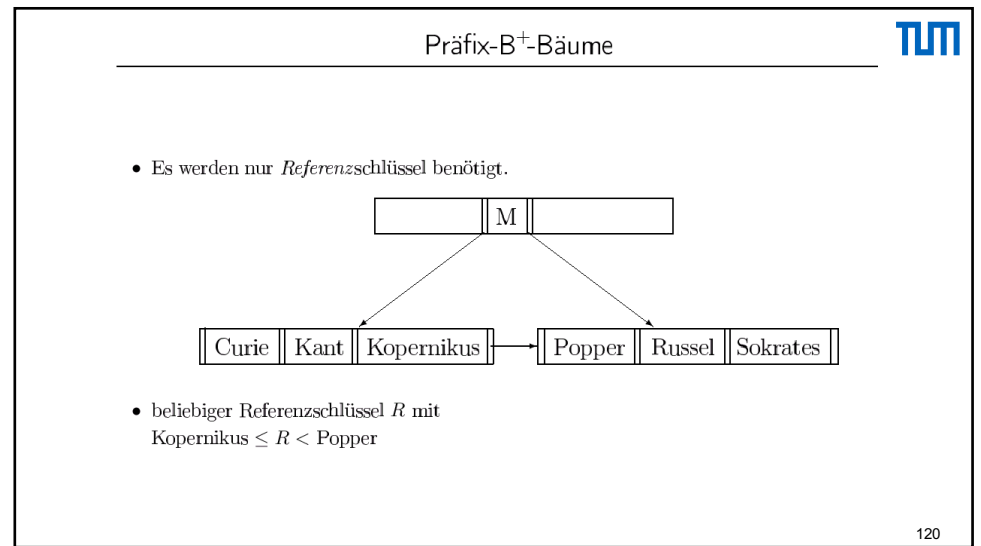


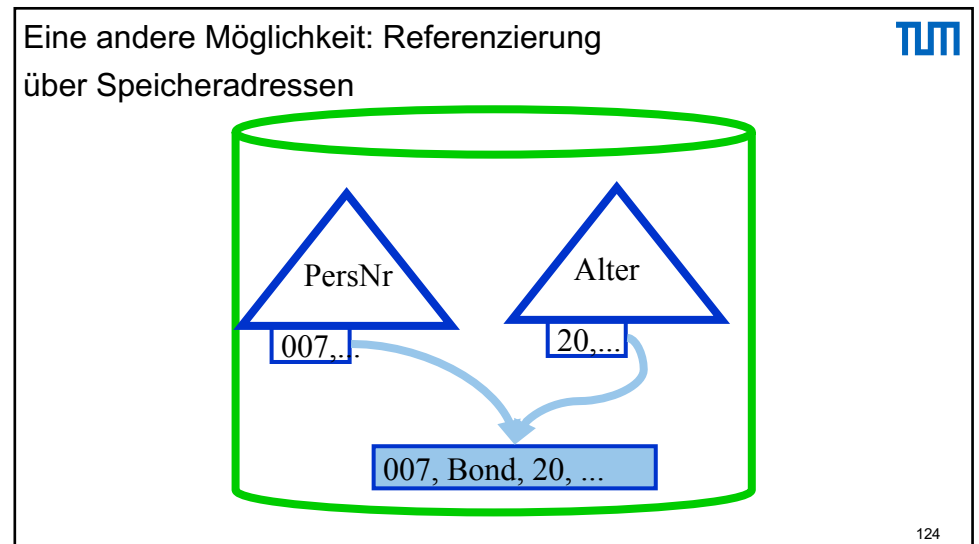
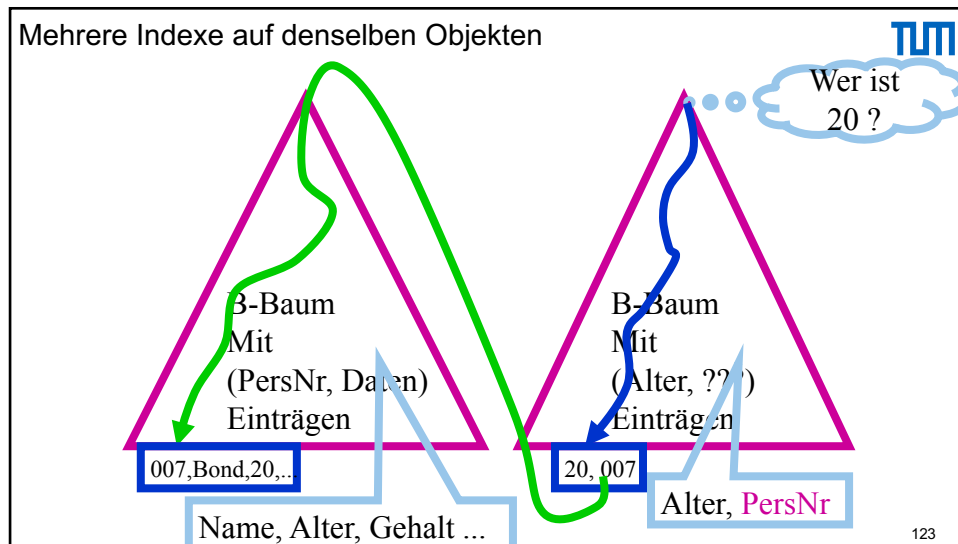
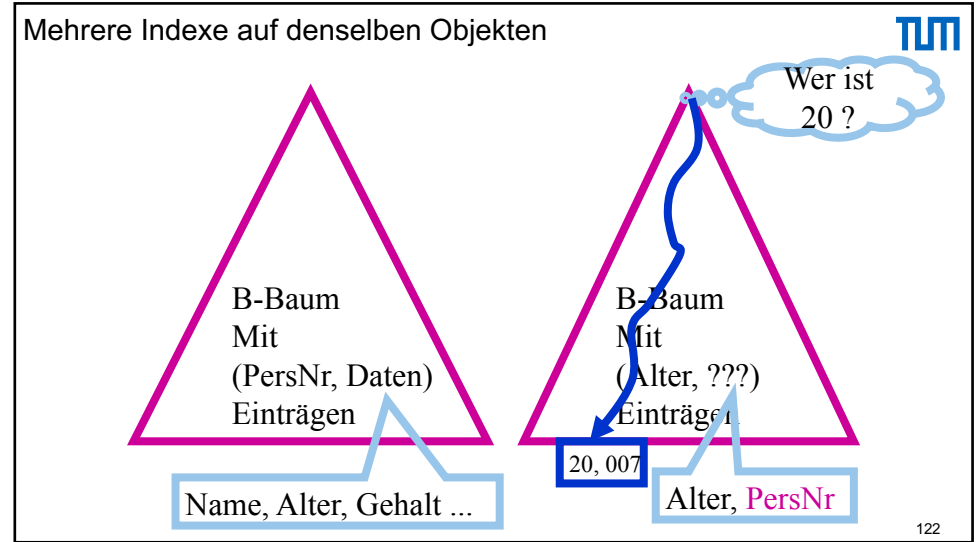
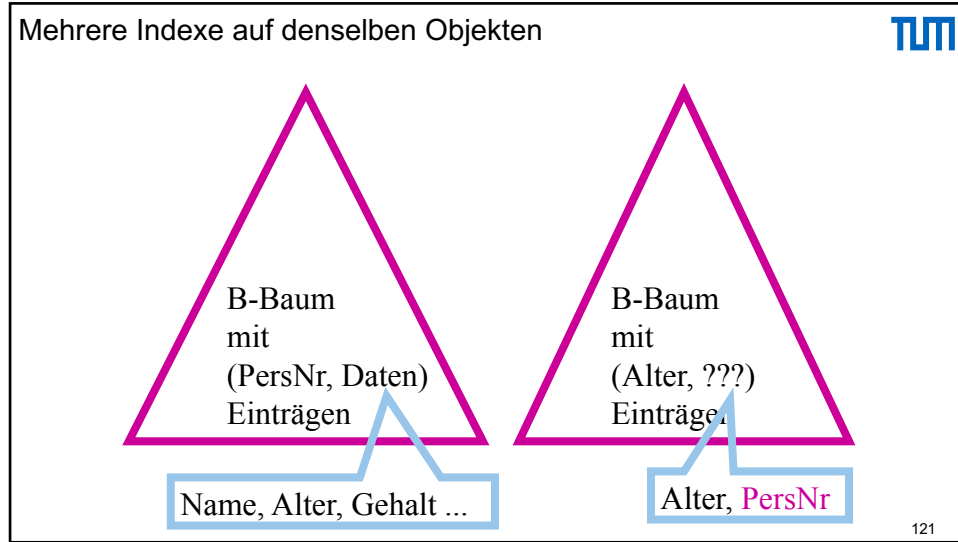
112





- Ein B⁺-Baum vom Typ (k, k^*) hat also folgende Eigenschaften:
1. Jeder Weg von der Wurzel zu einem Blatt hat die gleiche Länge.
 2. Jeder Knoten – außer Wurzeln und Blättern – hat mindestens k und höchstens $2k$ Einträge. Blätter haben mindestens k^* und höchstens $2k^*$ Einträge. Die Wurzel hat entweder maximal $2k$ Einträge, oder sie ist ein Blatt mit maximal $2k^*$ Einträgen.
 3. Jeder Knoten mit n Einträgen, außer den Blättern, hat $n + 1$ Kinder.
 4. Seien R_1, \dots, R_n die Referenzschlüssel eines inneren Knotens (d.h. auch der Wurzel) mit $n + 1$ Kindern. Seien V_0, V_1, \dots, V_n die Verweise auf diese Kinder.
 - (a) V_0 verweist auf den Teilbaum mit Schlüsseln kleiner oder gleich R_1 .
 - (b) V_i ($i = 1, \dots, n - 1$) verweist auf den Teilbaum, dessen Schlüssel zwischen R_i und R_{i+1} liegen (einschließlich R_{i+1}).
 - (c) V_n verweist auf den Teilbaum mit Schlüsseln größer als R_n .
- 119





Realisierungstechnik für
Hintergrundspeicher-Adressen

Seiten / Blöcke
(ca 8 KB)

TUM

125

Adressierung von Tupeln auf
dem Hintergrundspeicher

TID
4711 2

1 2 3

5001 ◦ Grundzüge ◦ ...
4052 ◦ Logik ◦ ...
5041 ◦ Ethik ◦ ...

Seite 4711

TUM

126

Verschiebung innerhalb einer Seite

TID
4711 2

1 2 3

5001 ◦ Grundzüge ◦ ...
5041 ◦ Ethik ◦ ...
4052 ◦ Mathematische
Logik ◦ ...

Seite 4711

TUM

127

Verschiebung von einer
Seite auf eine andere

TID
4711 2

1 2 3

5001 ◦ Grundzüge ◦ ...
5041 ◦ Ethik ◦ ...
4812 3

Seite 4711

Forward

1 2 3

4052 ◦ Mathematische
Logik für Informatiker ◦
...

Seite 4812

TUM

128

Verschiebung von einer Seite auf eine andere

Bei der nächsten Verschiebung wird der „Forward“ auf Seite 4711 geändert (kein Forward auf Seite 4812)

129

„Statische“ Hashtabellen

À priori Allokation des Speichers
 Nachträgliche Vergrößerung der Hashtabelle ist „teuer“

- Hashfunktion $h(\dots) = \dots \bmod N$
- Rehashing der Einträge
 - $h(\dots) = \dots \bmod M$
- In Datenbankanwendungen viele GB

Erweiterbares Hashing

- Zusätzliche Indirektion über ein Directory
- Ein zusätzlicher Zugriff auf ein Directory, das den Zeiger (Verweis, BlockNr) des Hash-Bucket enthält
- Dynamisches Wachsen (und Schrumpfen) ist möglich
- Der Zugriff auf das Directory erfolgt über einen binären Hashcode

130

131

Statisches Hashing

- Hashfunktion $h(x) = x \bmod 3$

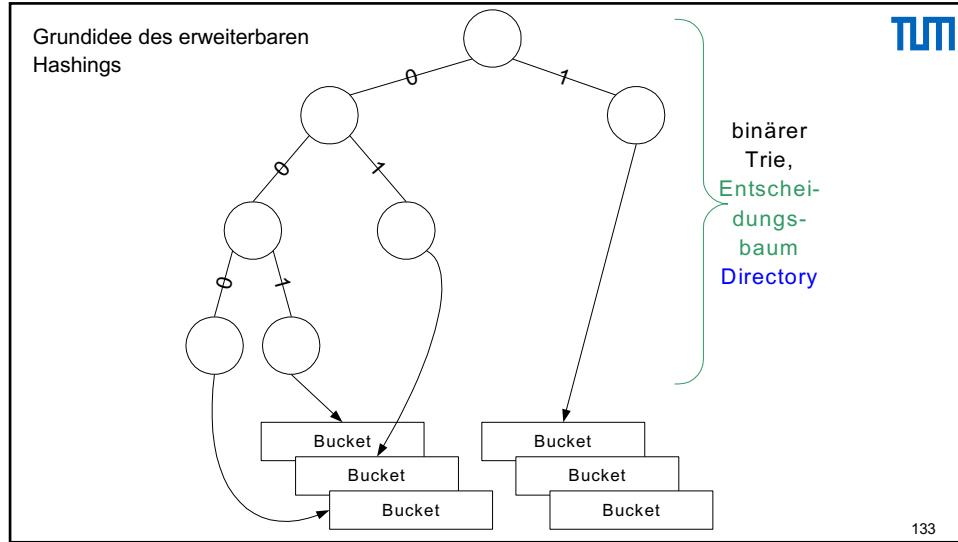
0	
1	(27550, 'Schopenhauer', 6)
2	(24002, 'Xenokrates', 18) (25403, 'Jonas', 12)

- Kollisionsbehandlung

0		
1	(27550, 'Schopenhauer', 6) (26830, 'Aristoxenos', 8)	
2	(24002, 'Xenokrates', 18) (25403, 'Jonas', 12)	• → (26120, 'Fichte', 10) (28106, 'Carnap', 3) • → ...

⇒ ineffizient bei nicht vorhersehbarer Datenmenge

132



Hashfunktion für erweiterbares Hashing

$h: \text{Schlüsselmenge} \rightarrow \{0,1\}^*$

Der Bitstring muss lang genug sein, um alle Objekte auf ihre Buckets abbilden zu können

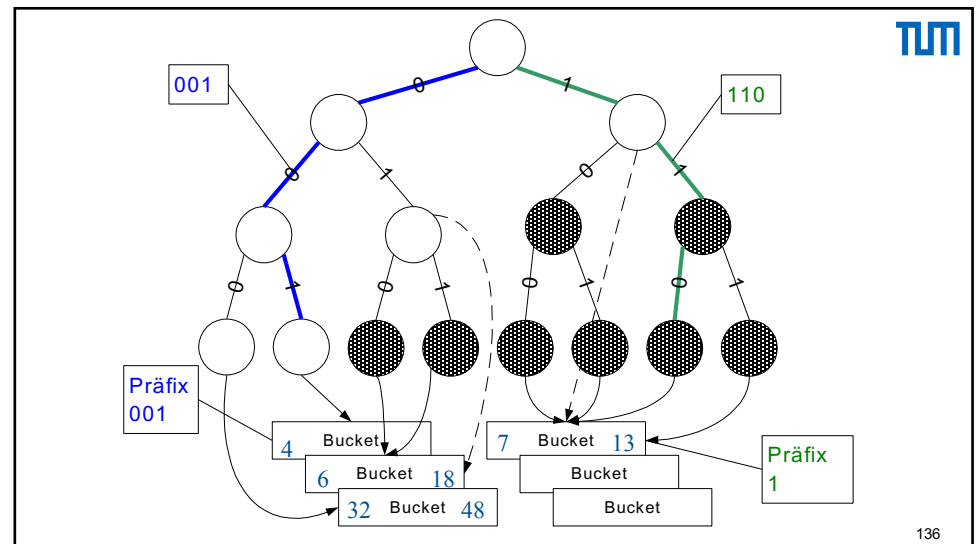
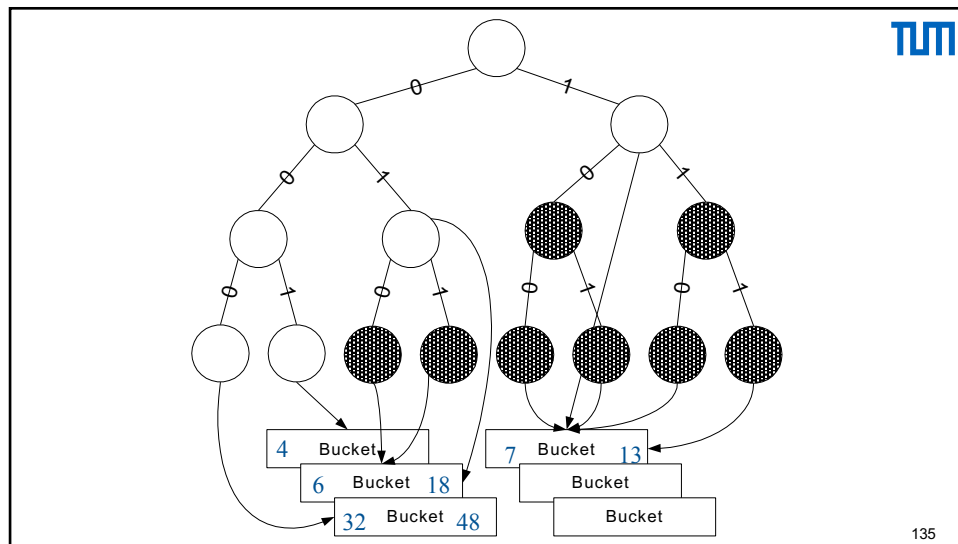
Anfangs wird nur ein (kurzer) Präfix des Hashwertes (Bitstrings) benötigt

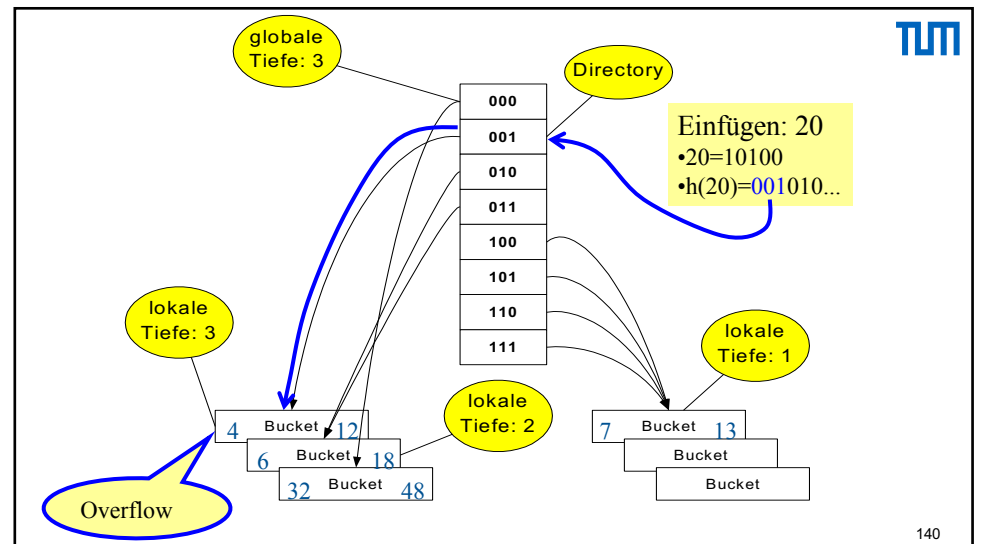
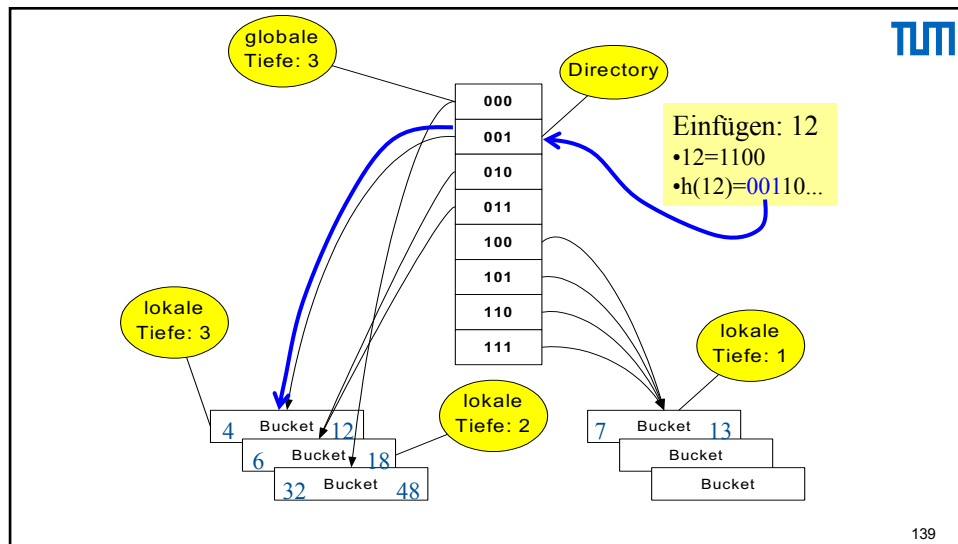
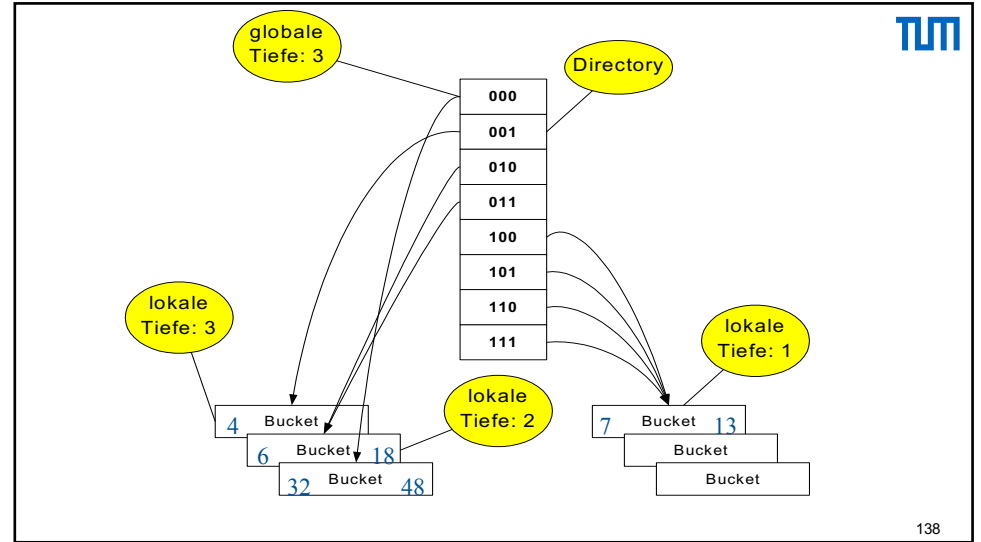
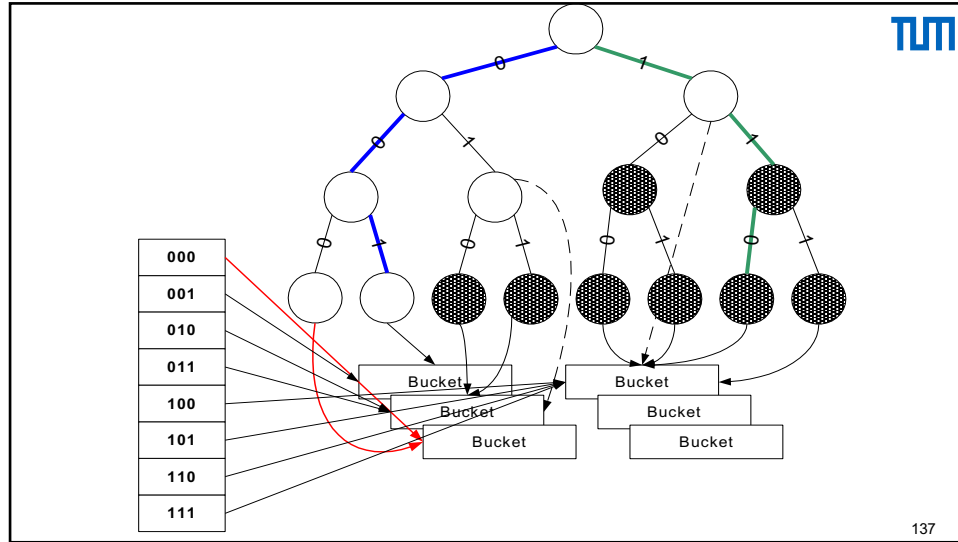
Wenn die Hashtabelle wächst wird aber sukzessive ein längerer Präfix benötigt

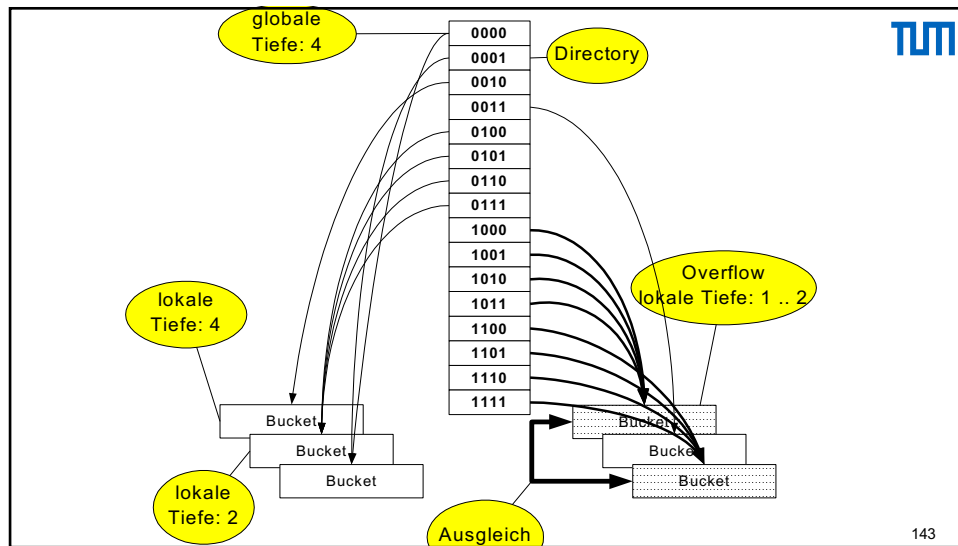
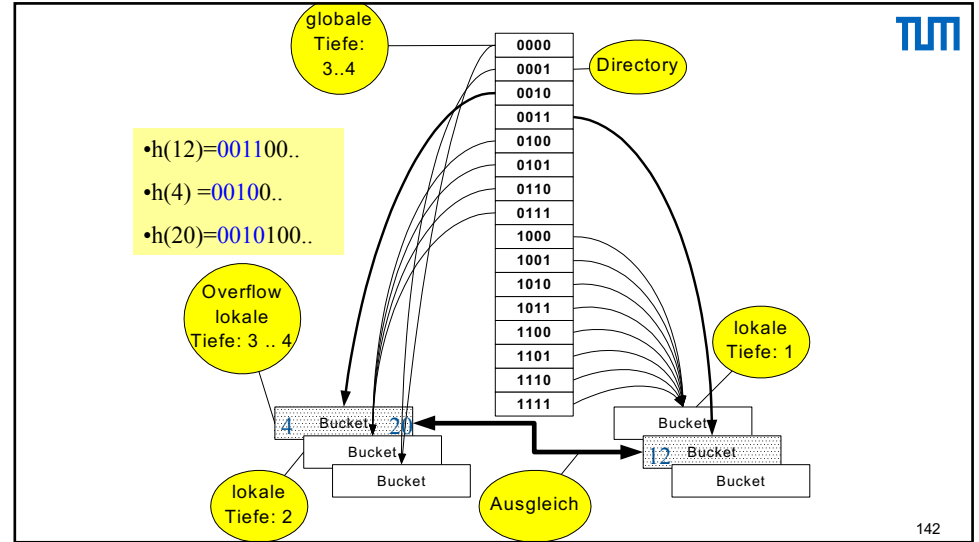
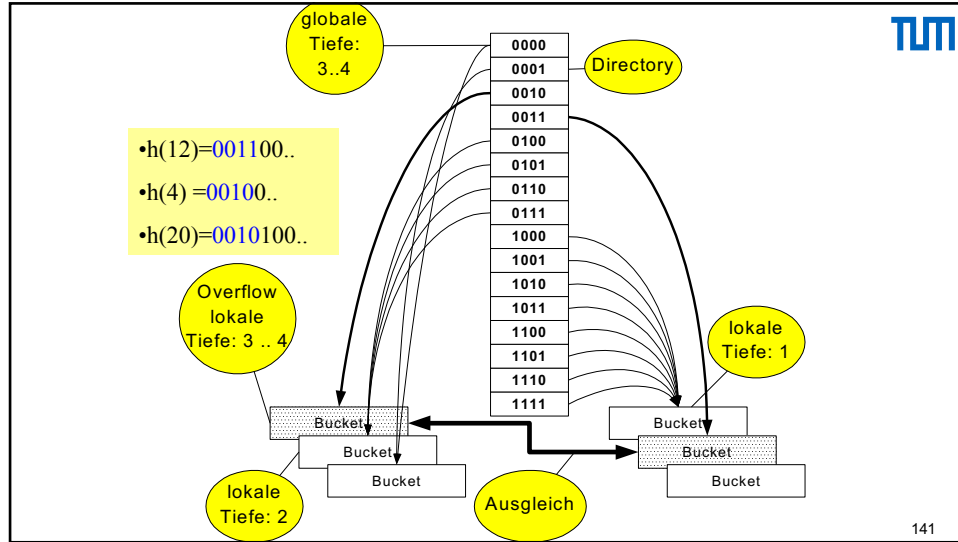
Beispiel-Hashfunktion: gespiegelte binäre PersNr

- $h(004) = 001000000\dots$ (4=0..0100)
- $h(006) = 011000000\dots$ (6=0..0110)
- $h(007) = 111000000\dots$ (7 =0..0111)
- $h(013) = 101100000\dots$ (13 =0..01101)
- $h(018) = 010010000\dots$ (18 =0..010010)
- $h(032) = 00001000\dots$ (32 =0..0100000)
- $H(048) = 000011000\dots$ (48 =0..0110000)

134







Demonstration des erweiterbaren Hashings

x	h(x)	
	d	p
2125	1	01100100001
2126	0	11100100001
2127	1	11100100001

0

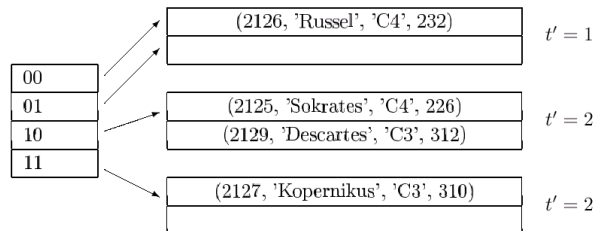
1

(2126, 'Russel', 'C4', 232) $t' = 1$

(2125, 'Sokrates', 'C4', 226)
(2127, 'Kopernikus', 'C3', 310) $t' = 1$

144

x	$h(x)$	
	d	p
2125	10	1100100001
2126	01	1100100001
2127	11	1100100001
2129	10	0010100001



145

146

Mehrdimensionale Datenstrukturen

Wertbasierter Zugriff auf der Grundlage mehrerer Attribute, dies einzeln oder in beliebigen Kombinationen.

Typische Anforderungen aus CAD, VLSI-Entwurf, Kartographie,...

- Anfragen decken den Bereich ab zwischen
- mehrdimensionalem Punktzugriff (EMQ) und
 - mehrdimensionalen Bereichsanfragen (RQ)

Lösung mit eindimensionalen Indexen

- erfordert konjunktive Zerlegung der Anfrage in Einattributanfragen und Schnittmengenbildung
- bedingt hohe Speicherredundanz

Problemstellung:

- Mehrdimensionale Nachbarschaftsverhältnisse

147

Grundlagen mehrdimensionaler Datenstrukturen

Wertebereiche D_0, \dots, D_{k-1} :

alle D_i sind endlich, linear geordnet und besitzen kleinstes ($-\infty_i$) und größtes (∞_i) Element

Datenraum $\mathbf{D} = D_0 \times \dots \times D_{k-1}$

k -dimensionaler Schlüssel entspricht Punkt im Datenraum $p \in \mathbf{D}$

148

Grundlagen mehrdimensionaler Datenstrukturen



1. Exact Match Query
 - spezifiziert Suchwert für jede Dimension D_i
2. Partial Match Query
 - spezifiziert Suchwert für einen Teil der Dimensionen
3. Range Query
 - spezifiziert ein Suchintervall $[ug_i, og_i]$ für alle Dimensionen
4. Partial Range Query
 - spezifiziert ein Suchintervall für einen Teil der Dimensionen

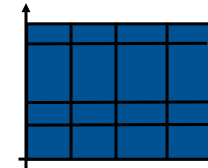
149

Charakterisierung mehrdimensionaler Datenstrukturen



- Mehrdimensionale Zugriffsstrukturen können gemäß der Art der Aufteilung des Datenraums in Gebiete charakterisiert werden:
1. nur atomare Gebiete (beschreibbar durch ein Rechteck)
 2. vollständig (die Vereinigung aller Gebiete ergibt den gesamten Datenraum)
 3. disjunkt (die Gebiete überlappen nicht)

Grid-File (Gitter-Datei): atomar, vollständig, disjunkt



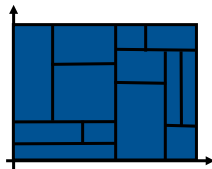
150

Charakterisierung mehrdimensionaler Datenstrukturen



- Mehrdimensionale Zugriffsstrukturen können gemäß der Art der Aufteilung des Datenraums in Gebiete charakterisiert werden:
1. nur atomare Gebiete (beschreibbar durch ein Rechteck)
 2. vollständig (die Vereinigung aller Gebiete ergibt den gesamten Datenraum)
 3. disjunkt (die Gebiete überlappen nicht)

K-D-B-Baum: atomar, vollständig, disjunkt



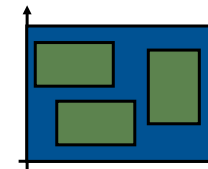
151

Charakterisierung mehrdimensionaler Datenstrukturen



- Mehrdimensionale Zugriffsstrukturen können gemäß der Art der Aufteilung des Datenraums in Gebiete charakterisiert werden:
1. nur atomare Gebiete (beschreibbar durch ein Rechteck)
 2. vollständig (die Vereinigung aller Gebiete ergibt den gesamten Datenraum)
 3. disjunkt (die Gebiete überlappen nicht)

R⁺-Baum: atomar, disjunkt



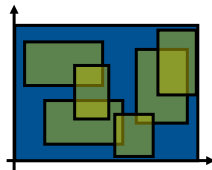
152

Charakterisierung mehrdimensionaler Datenstrukturen



- Mehrdimensionale Zugriffsstrukturen können gemäß der Art der Aufteilung des Datenraums in Gebiete charakterisiert werden:
1. nur atomare Gebiete (beschreibbar durch ein Rechteck)
 2. vollständig (die Vereinigung aller Gebiete ergibt den gesamten Datenraum)
 3. disjunkt (die Gebiete überlappen nicht)

R-Baum: atomar



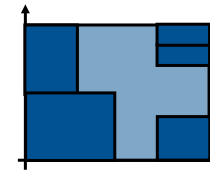
153

Charakterisierung mehrdimensionaler Datenstrukturen



- Mehrdimensionale Zugriffsstrukturen können gemäß der Art der Aufteilung des Datenraums in Gebiete charakterisiert werden:
1. nur atomare Gebiete (beschreibbar durch ein Rechteck)
 2. vollständig (die Vereinigung aller Gebiete ergibt den gesamten Datenraum)
 3. disjunkt (die Gebiete überlappen nicht)

Buddy-Hash-Baum: atomar, disjunkt



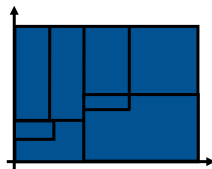
154

Charakterisierung mehrdimensionaler Datenstrukturen



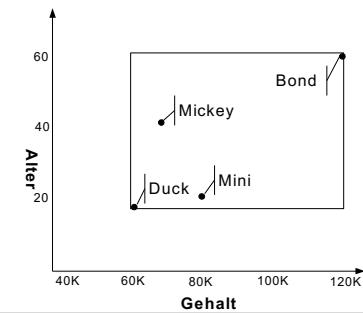
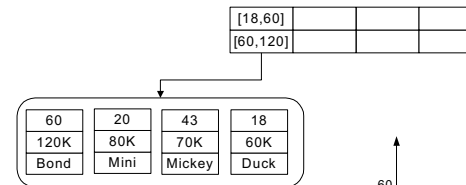
- Mehrdimensionale Zugriffsstrukturen können gemäß der Art der Aufteilung des Datenraums in Gebiete charakterisiert werden:
1. nur atomare Gebiete (beschreibbar durch ein Rechteck)
 2. vollständig (die Vereinigung aller Gebiete ergibt den gesamten Datenraum)
 3. disjunkt (die Gebiete überlappen nicht)

Z-B-Baum: vollständig, disjunkt

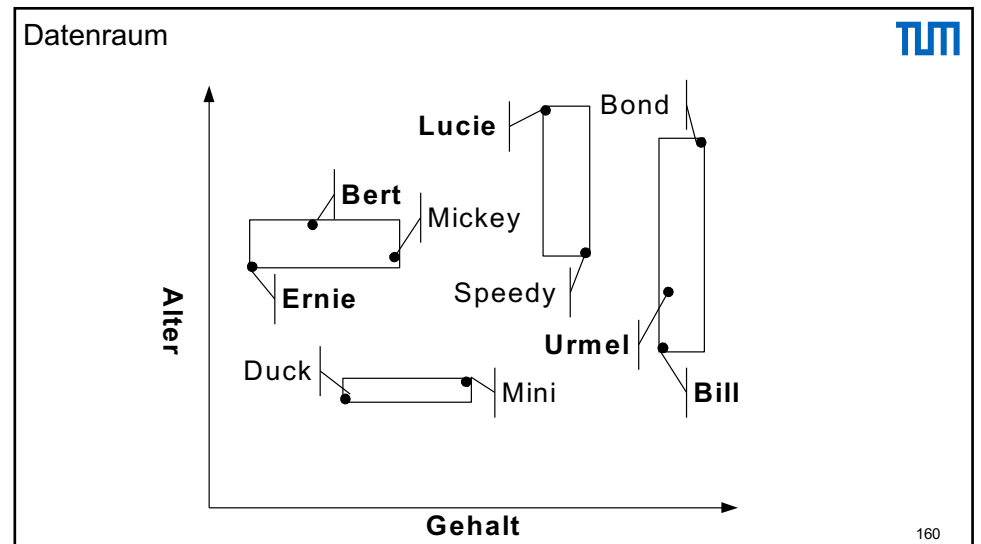
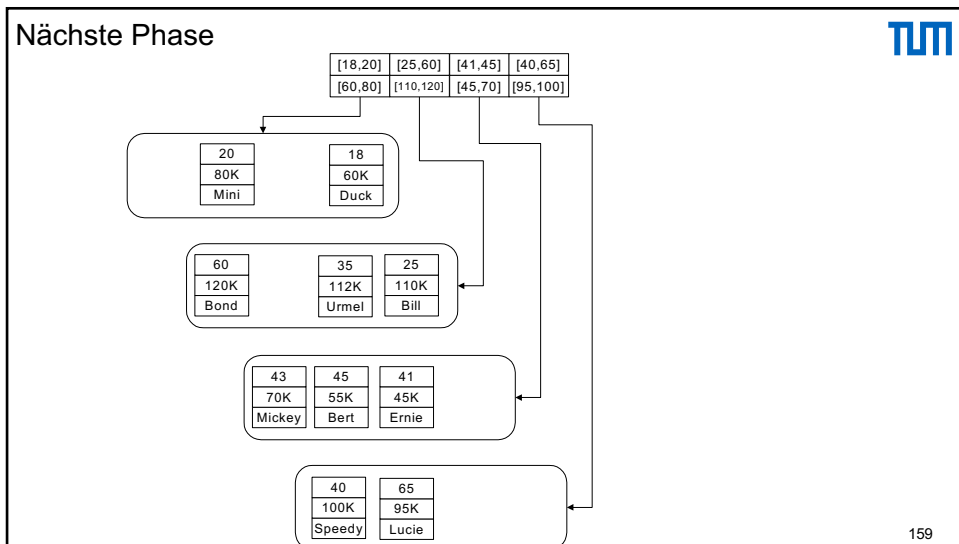
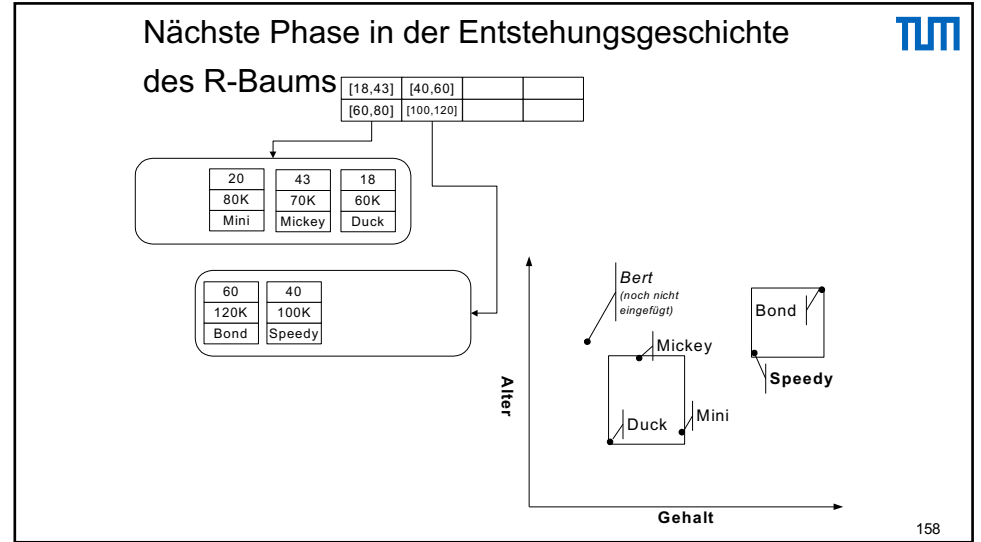
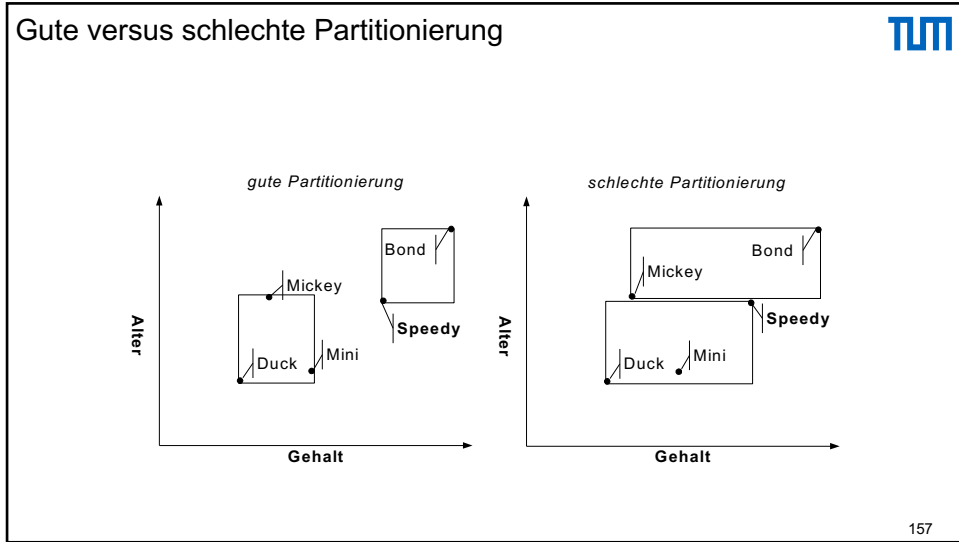


155

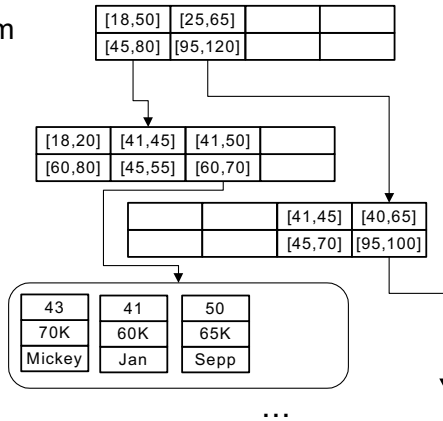
R-Baum: Urvater der baum-strukturierten mehrdimensionalen Zugriffsstrukturen



156

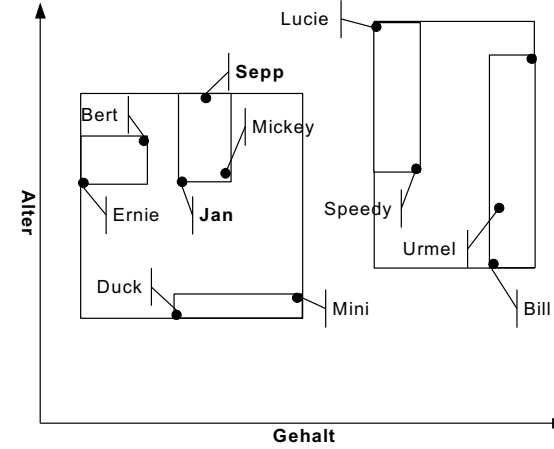


Wachsen des Baums:
nach oben – wie im B-Baum



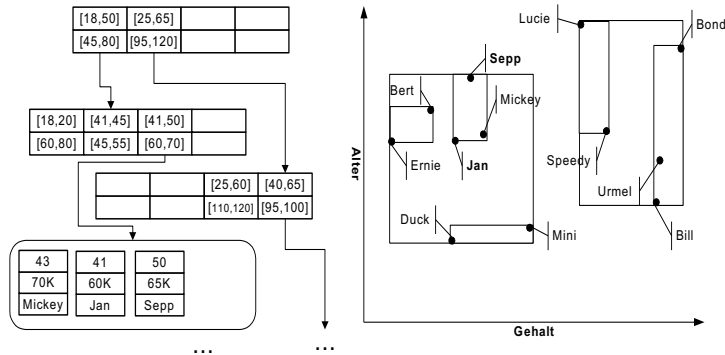
161

Datenraum

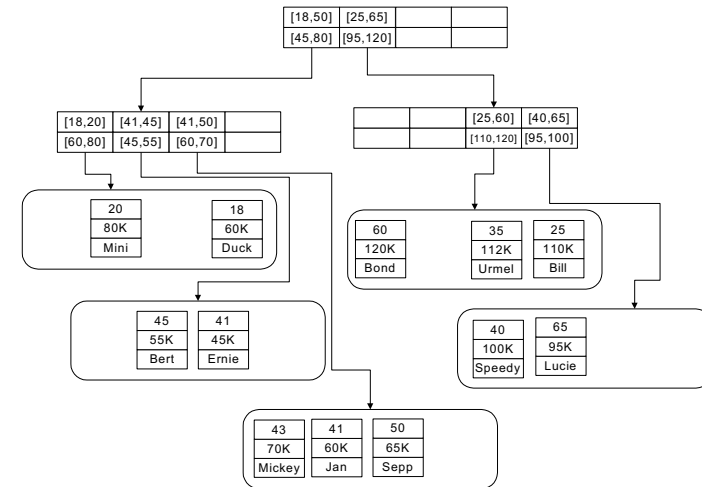


162

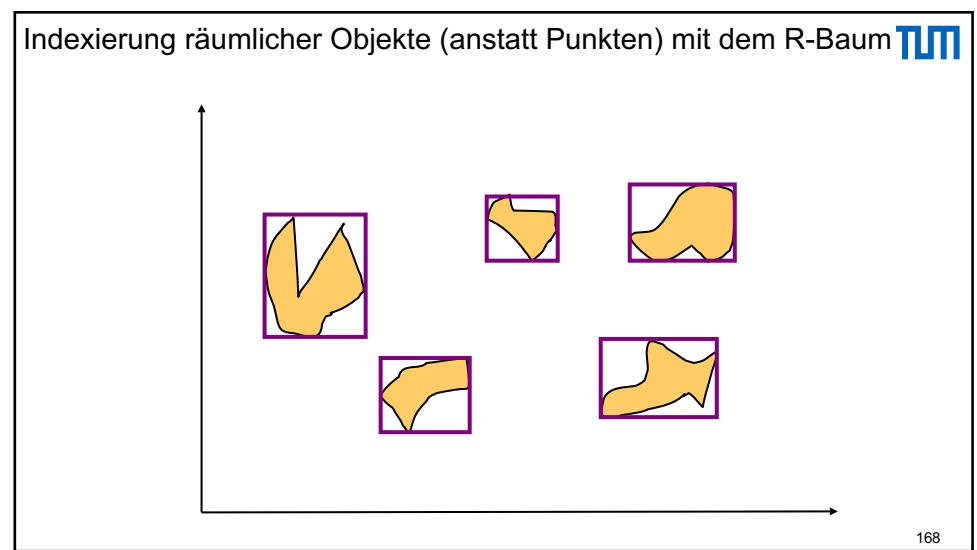
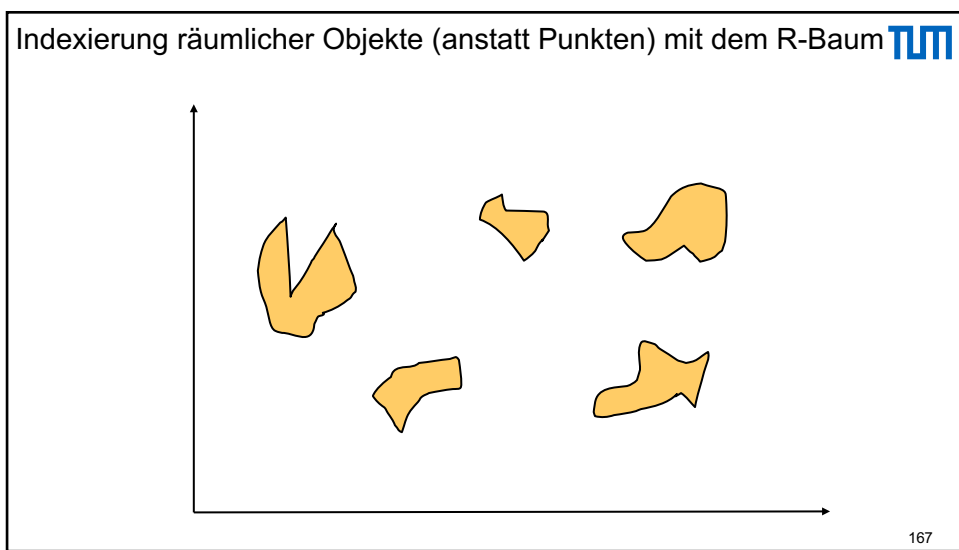
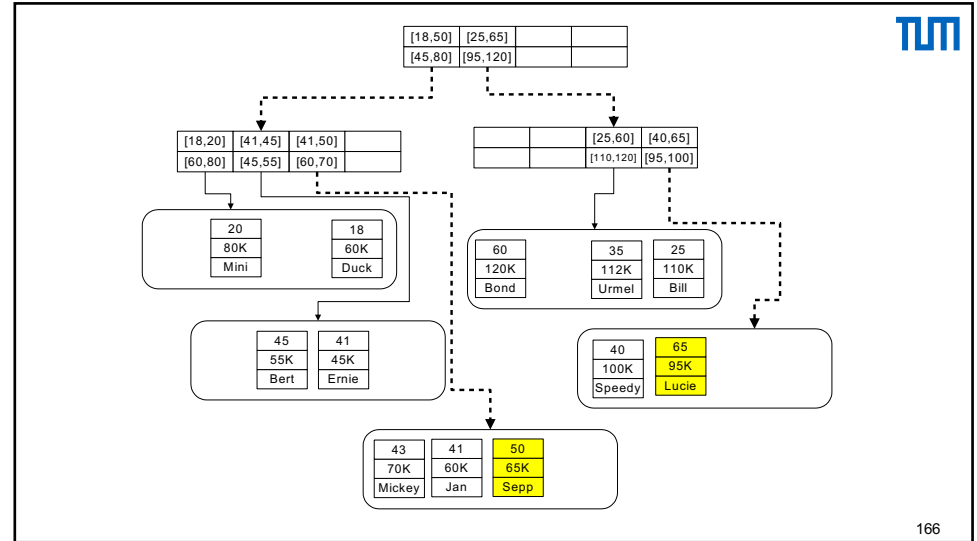
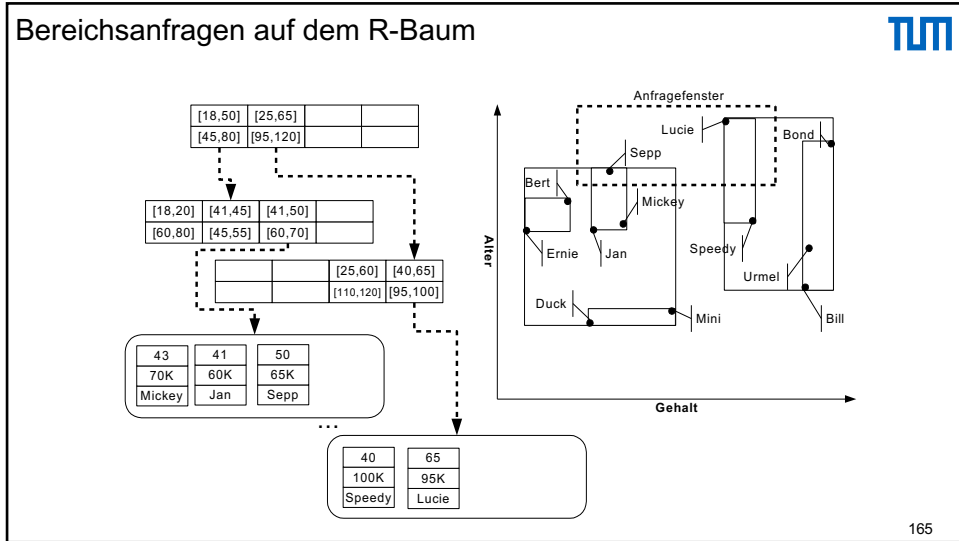
Datenraum und Speicherstruktur – Überblick



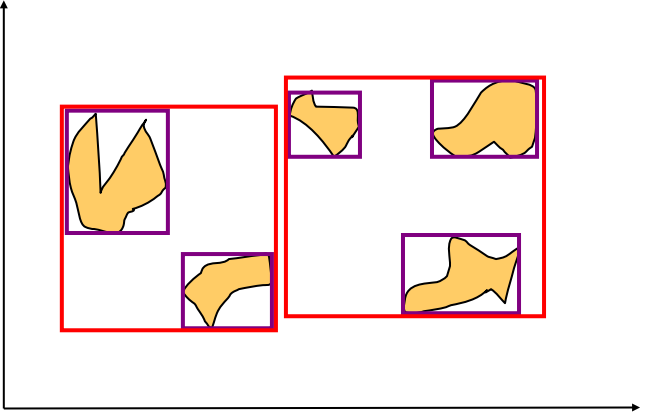
163



164



Indexierung räumlicher Objekte (anstatt Punkten) mit dem R-Baum 

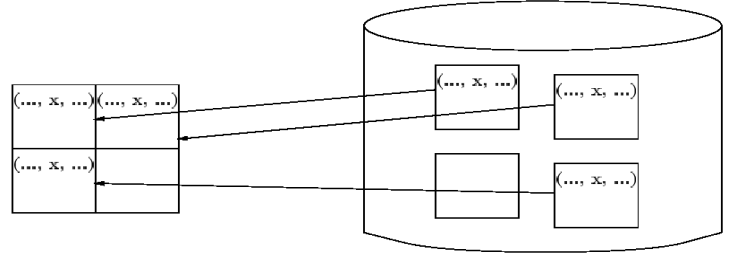


169

Objektballung / Clustering logisch verwandter Daten 

```

select *
from R
where A = x;
    
```

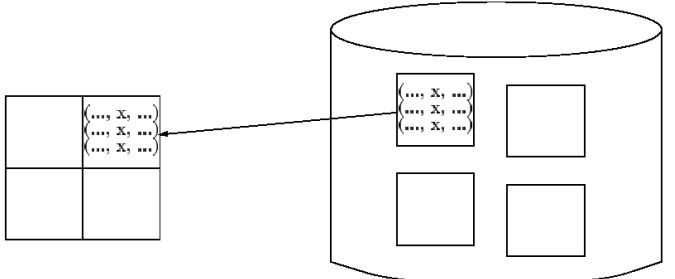


Hauptspeicher ← Zugriffslücke → Hintergrundspeicher

170



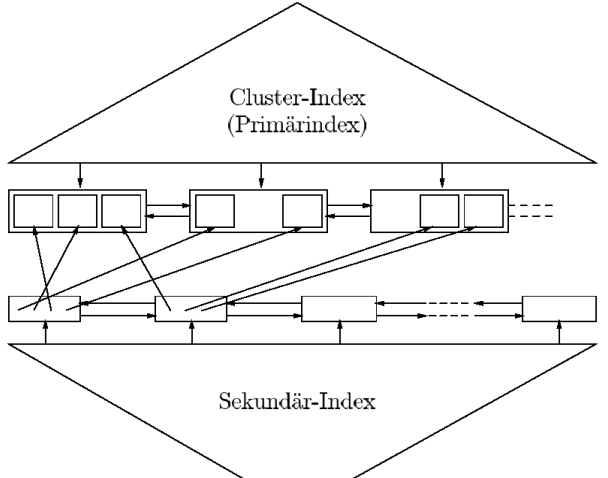
Hauptspeicher ← Zugriffslücke → Hintergrundspeicher



202

171

Indexe und Ballung 



Cluster-Index (Primärindex)

Sekundär-Index

172

„verzahnte“ Ballung bei
1:N Beziehungen

Seite P_i		
2125	◦ Sokrates	◦ C4 ◦ 226 •
5041	◦ Ethik	◦ 4 ◦ 2125 •
5049	◦ Mäeutik	◦ 2 ◦ 2125 •
4052	◦ Logik	◦ 4 ◦ 2125 •
2126	◦ Russel	◦ C4 ◦ 232 •
5043	◦ Erkenntnistheorie	◦ 3 ◦ 2126 •
5052	◦ Wissenschaftstheorie	◦ 3 ◦ 2126 •
5216	◦ Bioethik	◦ 2 ◦ 2126 •

Seite P_{i+1}		
2133	◦ Popper	◦ C3 ◦ 52 •
5259	◦ Der Wiener Kreis	◦ 2 ◦ 2133 •
2134	◦ Augustinus	◦ C3 ◦ 309 •
5022	◦ Glaube und Wissen	◦ 2 ◦ 2134 •
2137	◦ Kant	◦ C4 ◦ 7 •
5001	◦ Grundzüge	◦ 4 ◦ 2137 •
4630	◦ Die 3 Kritiken	◦ 4 ◦ 2137 •
	⋮	

173

Unterstützung eines Anwendungsverhaltens

```
Select Name
From Professoren
Where PersNr = 2136
```

```
Select Name
From Professoren
Where Gehalt >= 90000 and Gehalt <= 100000
```

174

Indexe in SQL

```
Create index SemesterInd
on Studenten
(Semester)
```

```
drop index SemesterInd
```

175

176